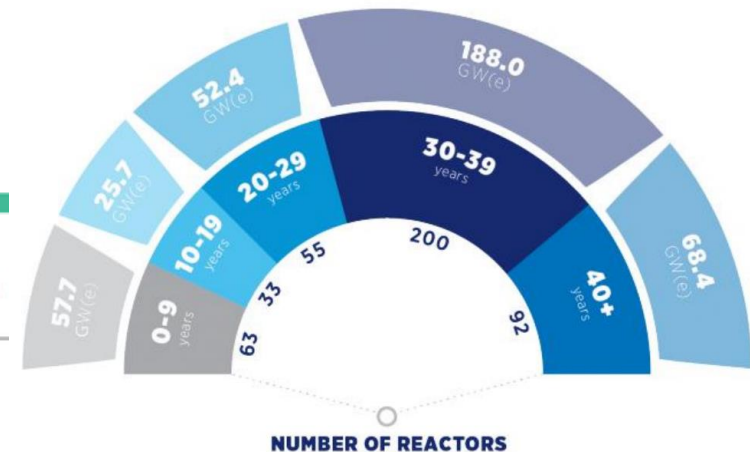


# Dávid Košovský

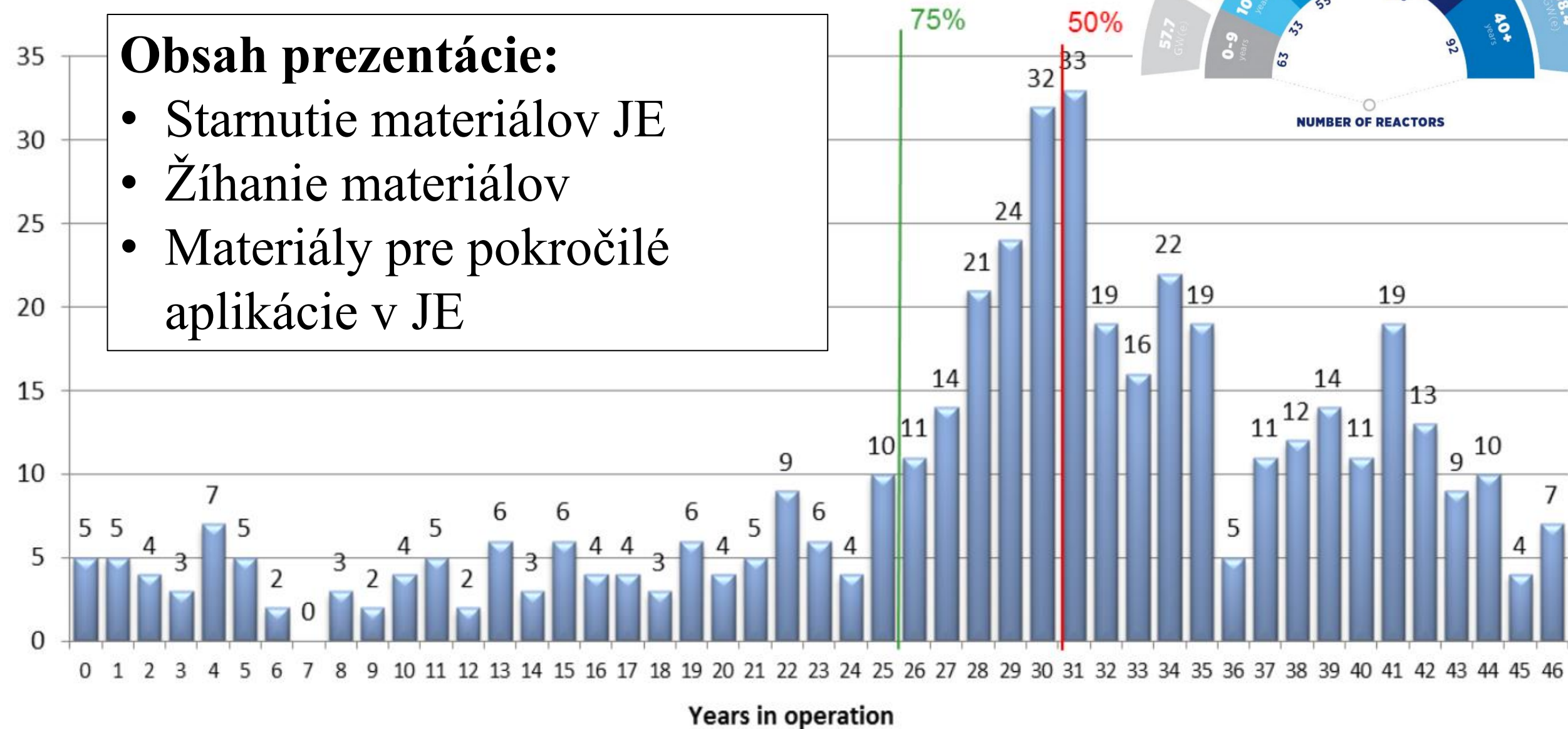
*Institute of Nuclear and Physical Engineering, Faculty of Electrical Engineering and Information Technology, Slovak University of Technology in Bratislava, Ilkovičova 3, 812*

Využitie spektroskopických metód  
na sledovanie mikroštruktúry  
reaktorových ocelí



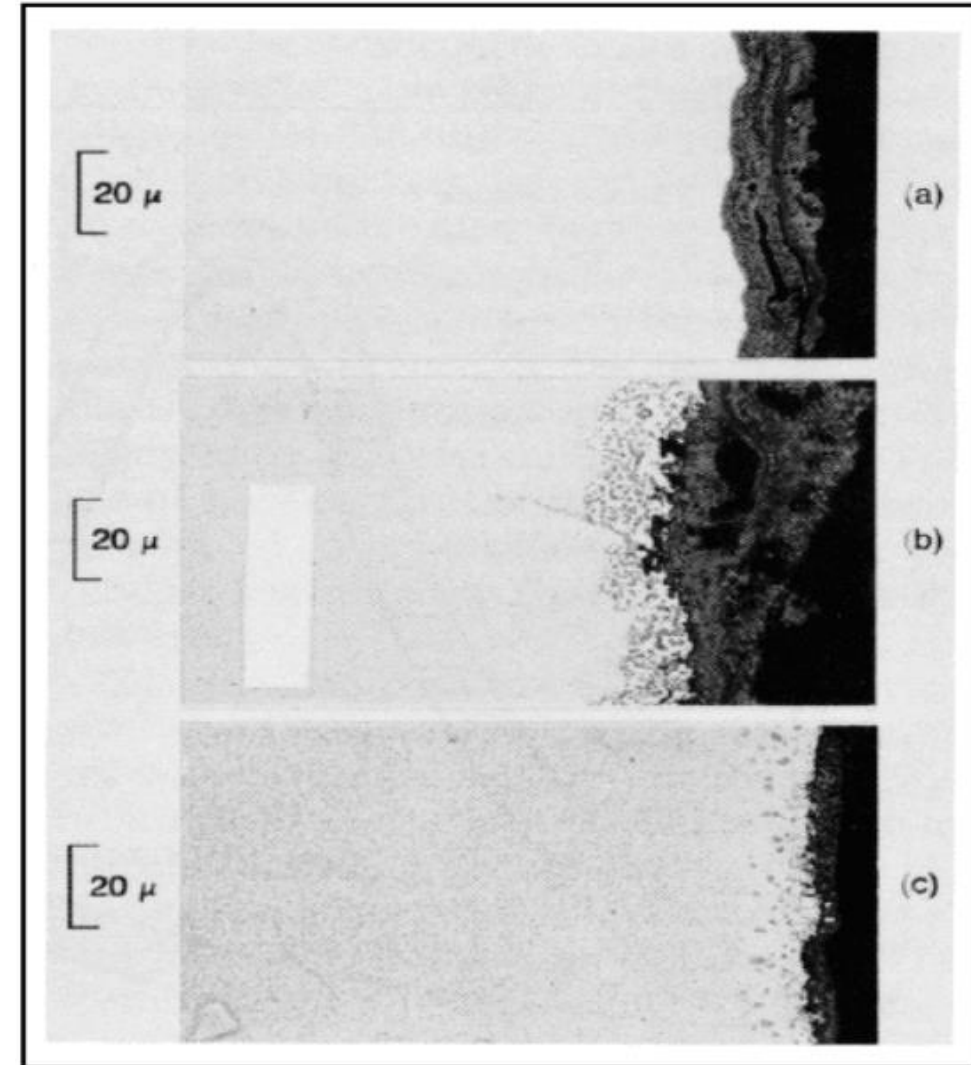
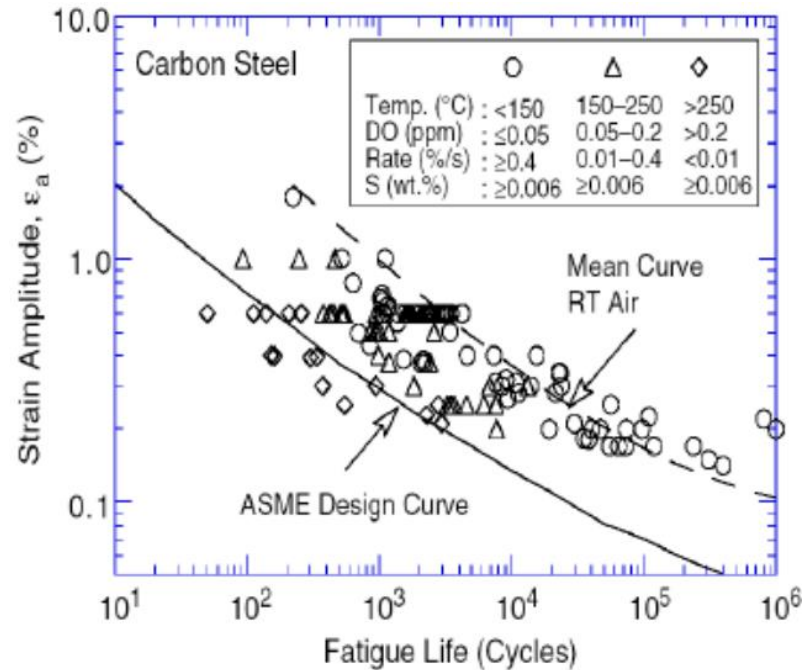
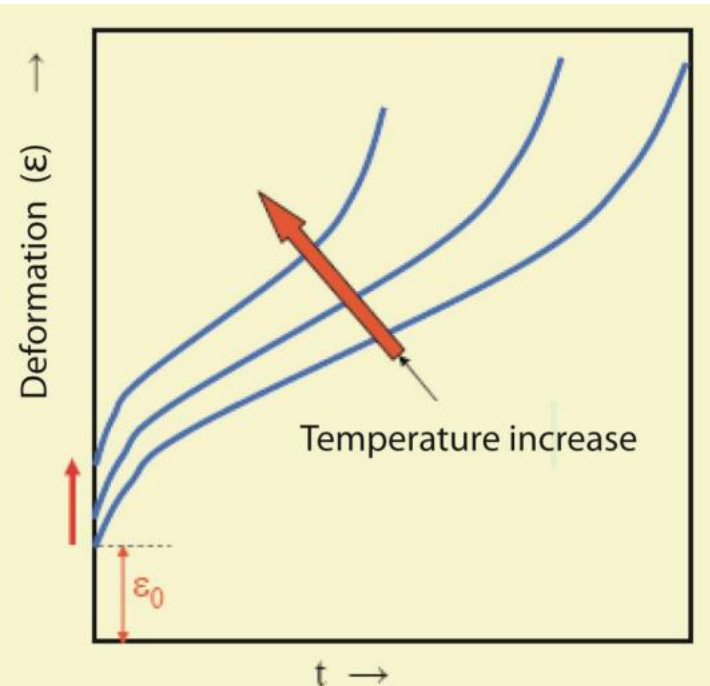
## Obsah prezentácie:


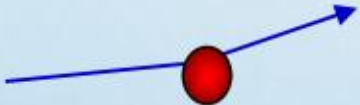
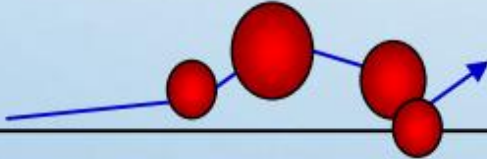
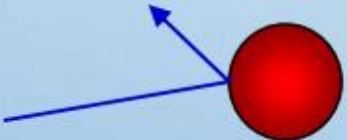
- Starnutie materiálov JE
- Žíhanie materiálov
- Materiály pre pokročilé aplikácie v JE



## Starnutie materiálov v primárnom okruhu

- Termomechanické namáhanie – teplota, tlak,
- Cyklické napätie
- Vplyv korozívneho prostredia (N, H, He, C, S)
- Radičná záťaž



Particle type ( $E_{kin} = 1 \text{ MeV}$ )	Typical recoil (or PKA) feature	Typical recoil energy T	Dominant defect type
Electron		25 eV	<ul style="list-style-type: none"> <li>• Frenkel pairs (Vacancy-Interstitial pair)</li> <li>• Cascades &amp; sub-cascades</li> <li>• <b>Transmutation</b></li> </ul>
Proton		500 eV	
Fe-ion		24 000 eV	
Neutron		45 000 eV	

# Žiarením vyvolané zmeny vlastností

Tvorba Frenkelových párov vedie k:

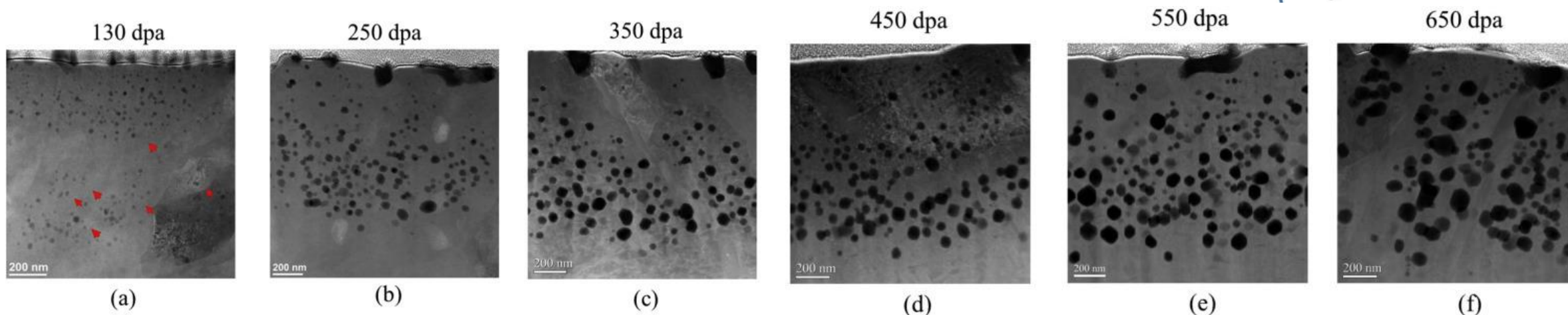
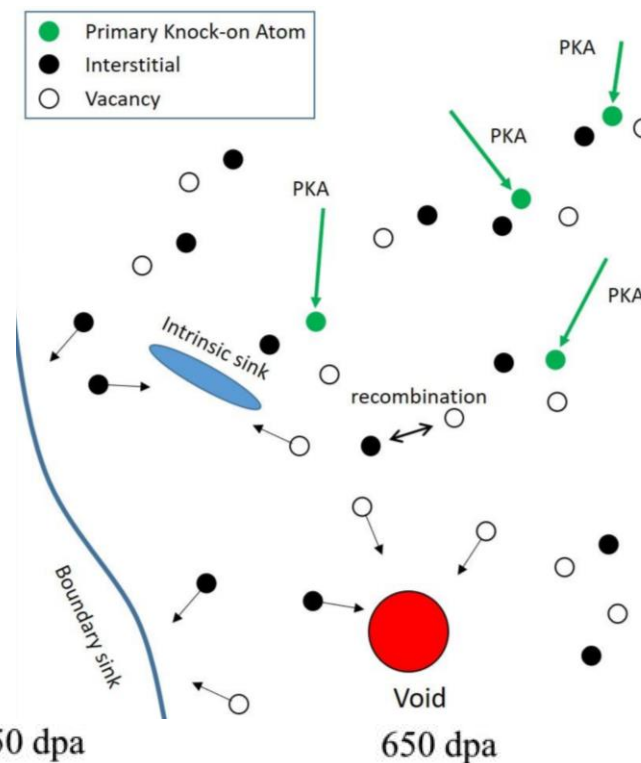
Zvýšenie hustoty dislokácií → krehnutie

Tvorba dutín → napučiavanie (typické pre fcc ocel')

Zvýšená difúznosť → lokálna segregácia

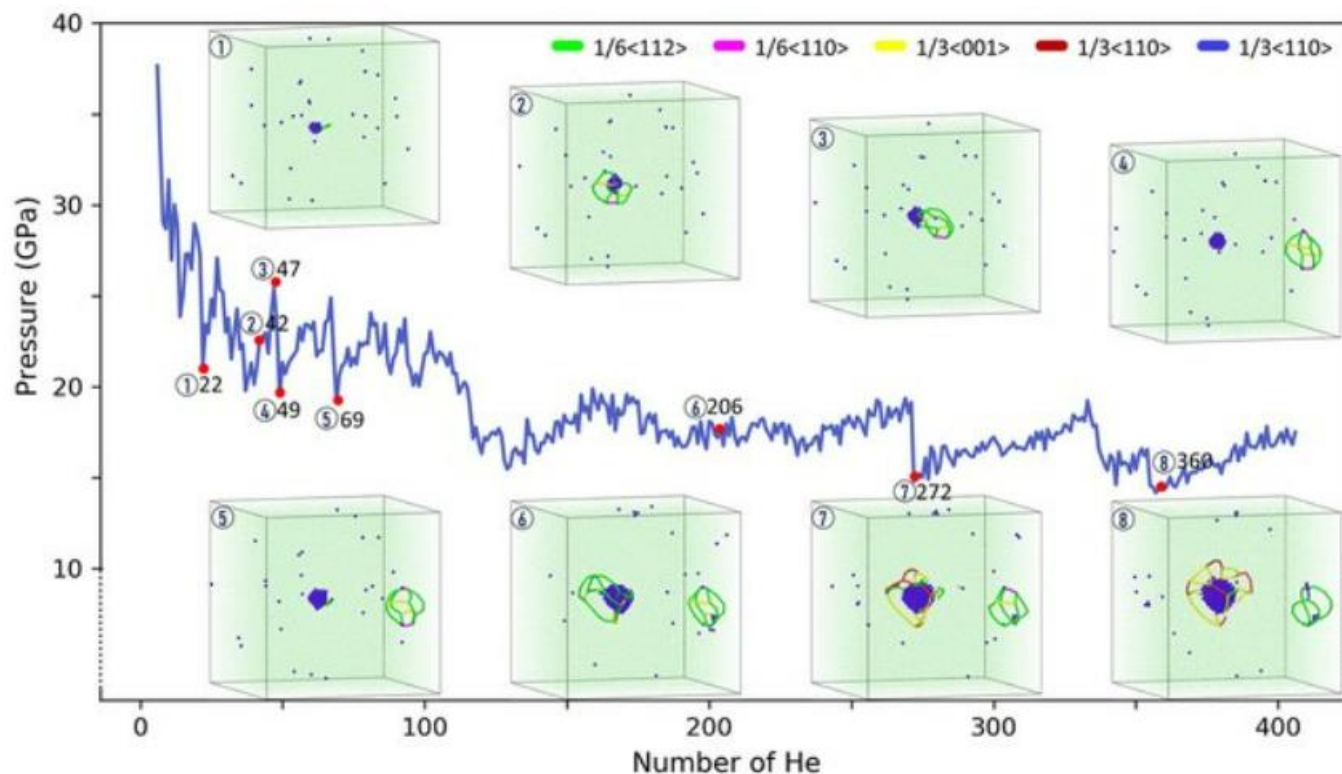
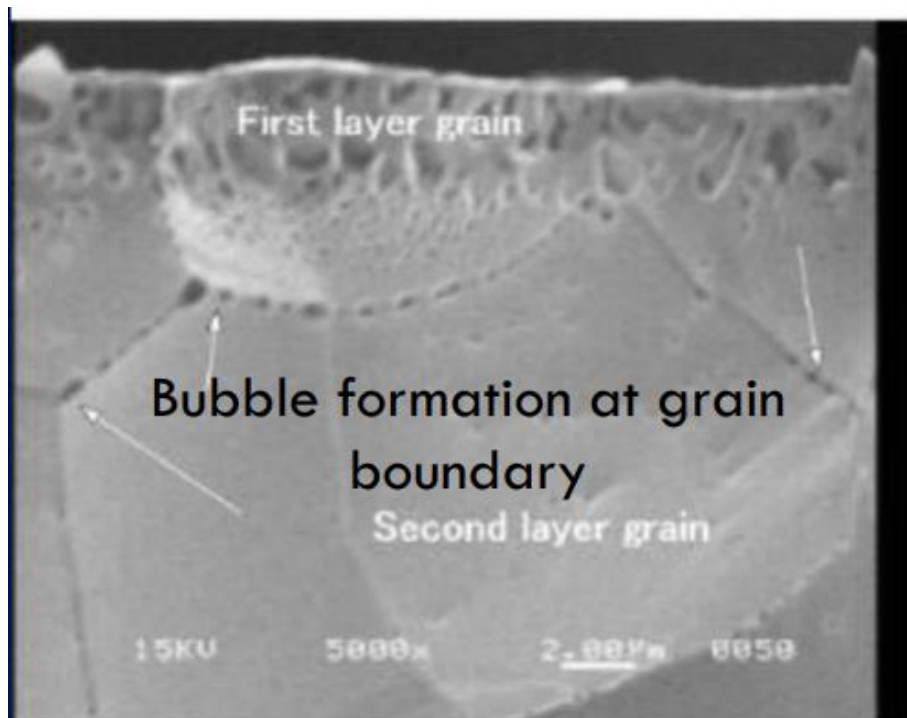
Amorfizácia alebo kryštalizácia → neočakávaná zmena fázy

Plastická nestabilita – dislokačné tunely



Transmutácia vedie k:

- Zvýšenie rádioaktivity
- Tvorba prvkov citlivejších na žiarenie – zmeny termomechanických vlastností, korózia
- Tvorba H/He bublín, napr.  $^{56}\text{Fe}(n, \alpha)^{53}\text{Cr}$ ,  $^{58}\text{Ni}(n, \alpha)^{55}\text{Fe}$

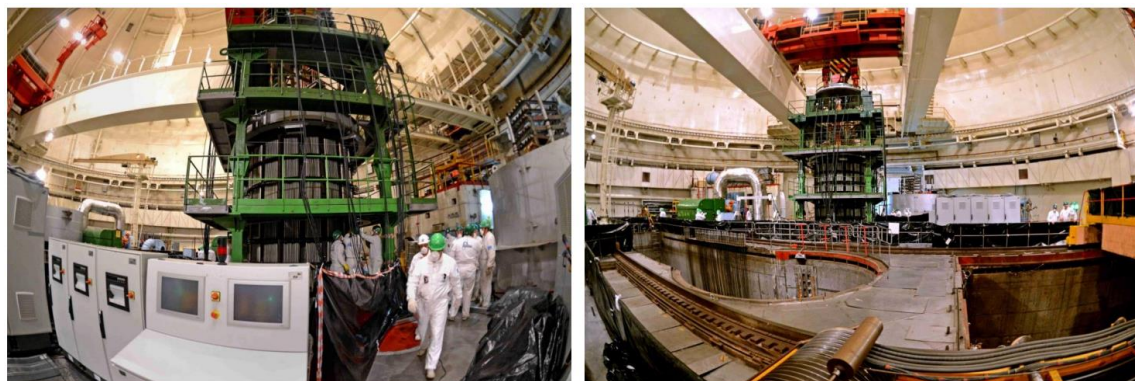




## Žíhanie – spôsob obnovenia vlastnosti materiálu

Možné spôsoby žíhania:

- „mokré“ žíhanie bez odstránenia jadra
- „mokré“ žíhanie s odstránením jadra
- malé zvýšenie teploty chladiva primárneho okruhu (napr. od 280 °C do 340 °C) – nízky vplyv, nízke náklady
- „suché“ žíhanie s odstránením jadra
- výrazné zvýšenie teploty pomocou externých zdrojov tepla





## Základné údaje regeneračného žihania

Činnosť pozostáva z troch etáp:

### 1. etapa

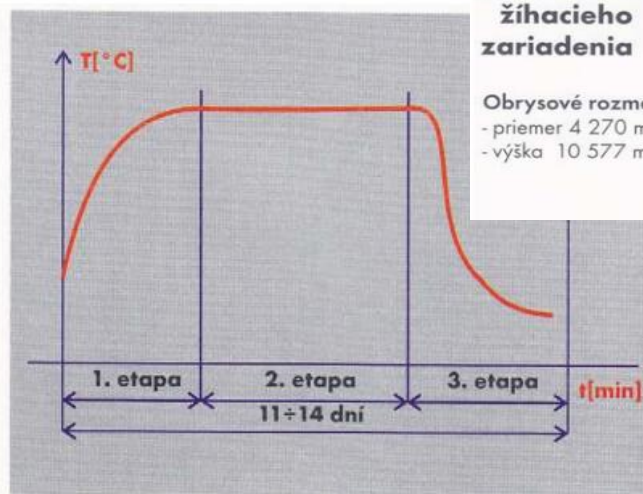
- ohrev na pracovnú teplotu predpísanou rýchlosťou, zároveň dochádza k dosušeniu tlakovej nádoby reaktora

### 2. etapa

- výdrž na žihacej teplote

### 3. etapa

- chladnutie po regeneračnom žihaní predpísanou rýchlosťou



Priebeh teplôt počas regeneračného žihania

### Technické parametre žihacieho zariadenia

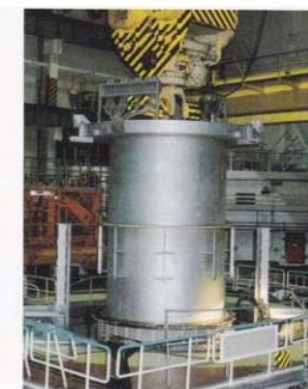
**Obrysovú rozmery**  
- priemer 4 270 mm  
- výška 10 577 mm

**Hmotnosť**  
- strojná časť 62 330 kg  
- elektrická časť 2 470 kg  
- spolu 64 800 kg

**Inštalovaný príkon**  
- 975 kW  
/13 pásiem po 75 kW/

**Menovitý prúd**  
1 490 A

**Napájanie**  
3 x 380 V, 50 Hz



Reactor	Year	Temperature/time (°C/h)
Novovoronezh 3	1987	430 ± 20°C / 150 h
Armenia 1	1988	450 + 50°C / 150 h
Greifswald 1 (Nord 1)	1988	475 - 10°C / 150 h
Kola 1	1989	475°C / 150 h
Kola 2	1989	475°C / 150 h
Kozloduy 1	1989	475°C / 150 h
Kozloduy 3	1989	475°C / 150 h
Greifswald 2 (Nord 2)	1990	475 - 10°C / 150 h
Greifswald 3 (Nord 3)	1990	475°C/150 h
Novovoronezh 3 (re-annealing)	1991	475 ± 15°C / 100 h
Novovoronezh 4	1992	475°C / 150 h
Kozloduy 2	1992	475°C / 150 h
J. Bohunice V-1/2	1993	475 - 503°C / 160 h
J. Bohunice V-1/1	1993	475 - 496°C / 168 h

### Základný tepelný režim:

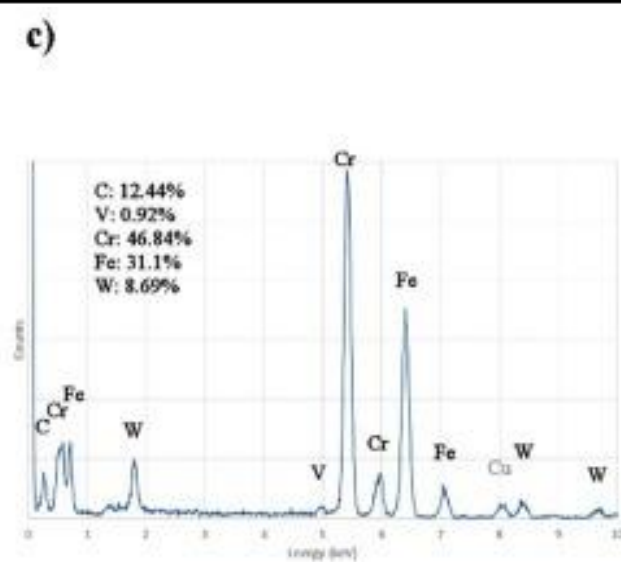
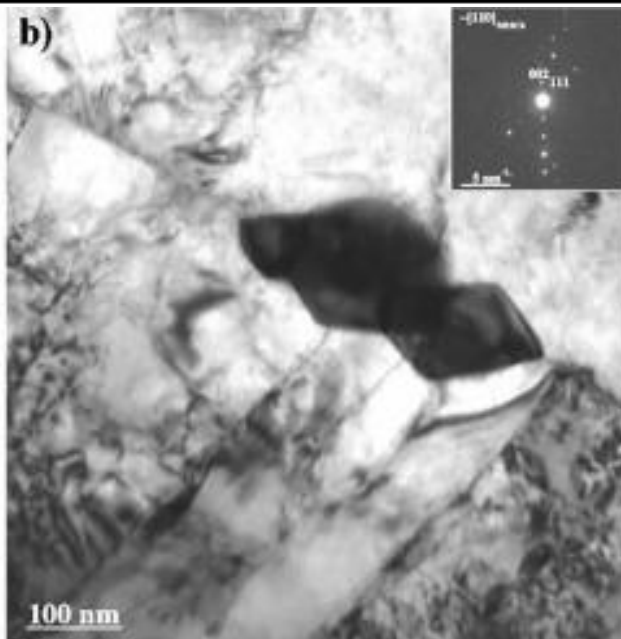
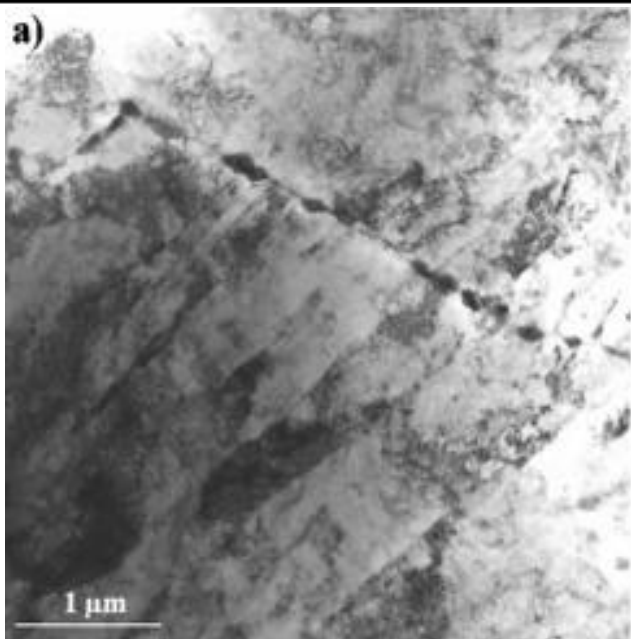
Pre reaktory typu VVER 440 je používaný nasledovný základný tepelný režim:

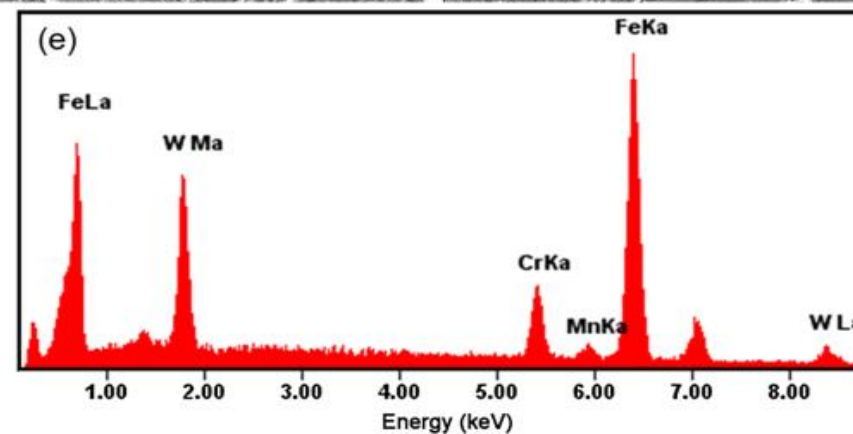
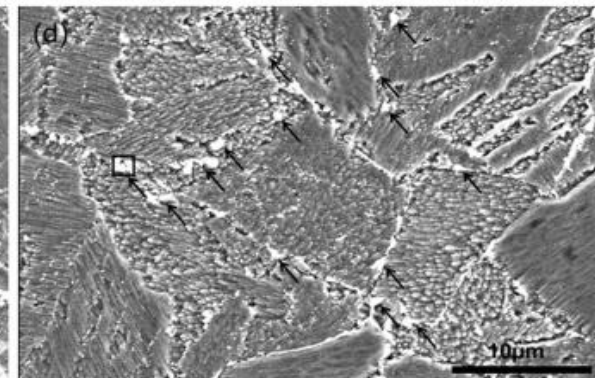
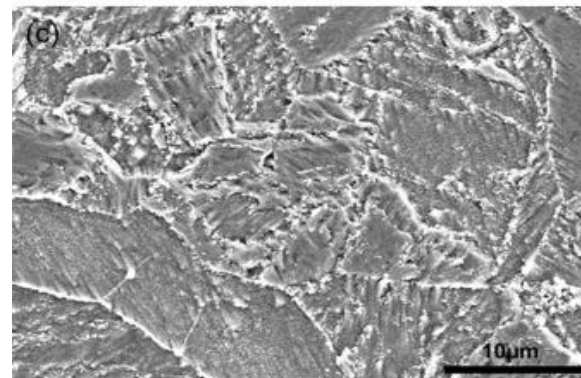
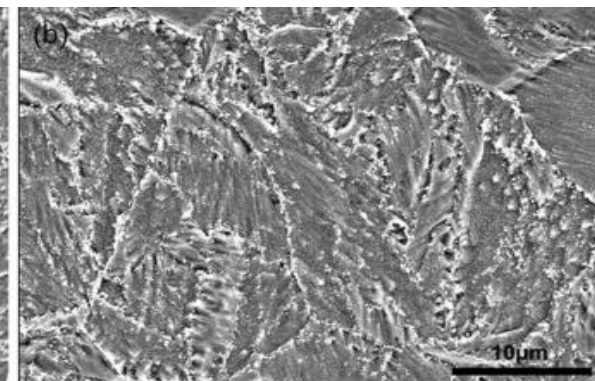
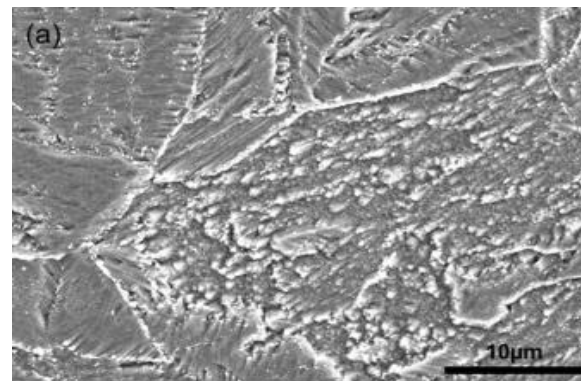
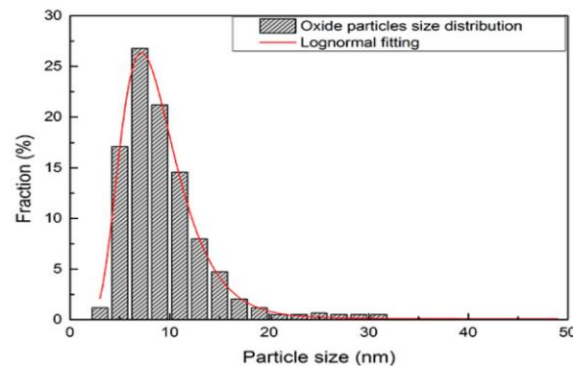
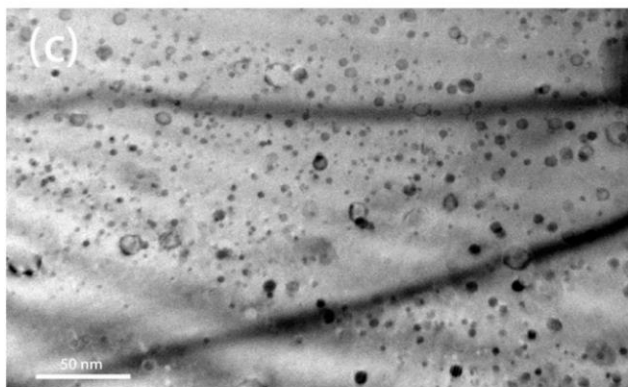
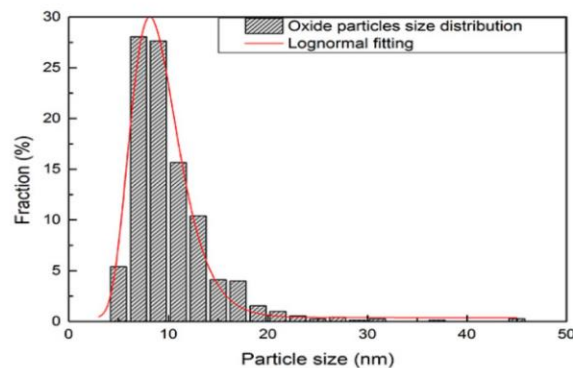
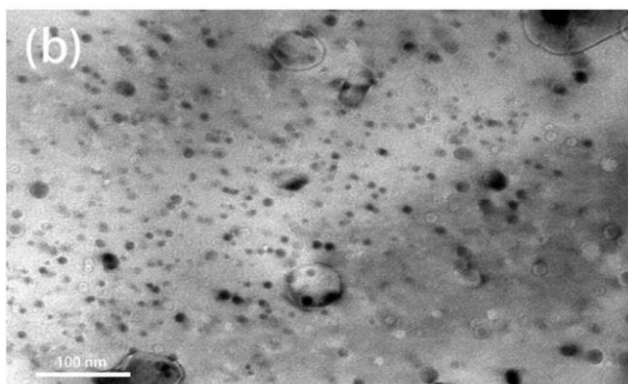
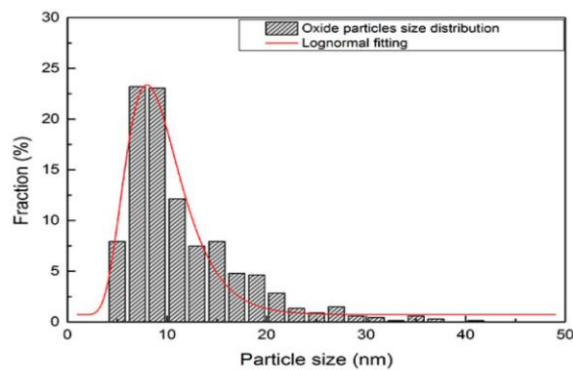
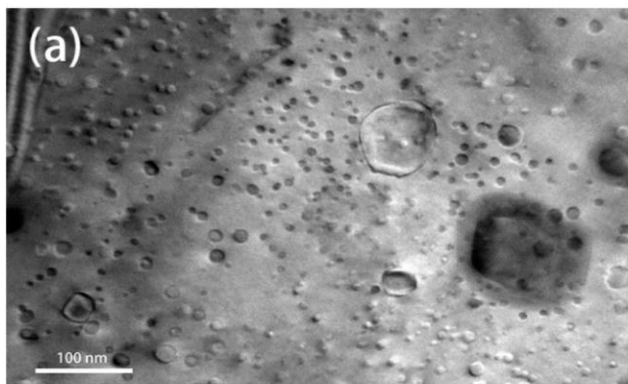
- teplota regeneračného žihania 475°C ± 30°C
- výdrž na teplote v trvaní 100 až 168 hodín podľa požiadaviek zákazníka
- rýchlosť náhrevu max. 20°C za hod.
- max. teplotný gradient: - axiálny 250°C/m  
- radiálny 50°C/m
- pokrytie oblasti zvarového spoja na každú stranu od jeho osi v šírke 300 mm
- rýchlosť chladenia max. 30°C/hod.



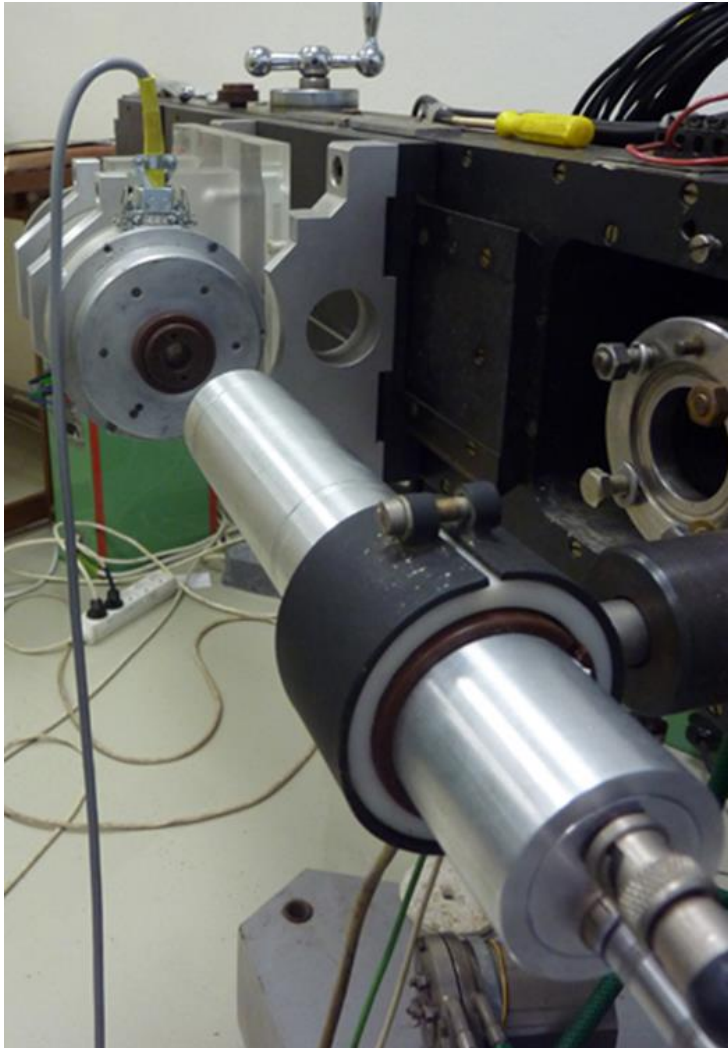
# ODS a RAFM ocele pre III+ gen. reaktorov

Sample	Chemical composition [ wt. % ]								
	Fe	Cr	C	Si	Mn	Mo	Ni	Ti	Y
<b>RAFM T91</b>	89.90	8.32	0.09	0.15	0.48	0.86	0.10	-	-
<b>ODS PM2000</b>	80.09	19.30	0.07	0.05	0.02	0.01	0.03	0.05	0.43





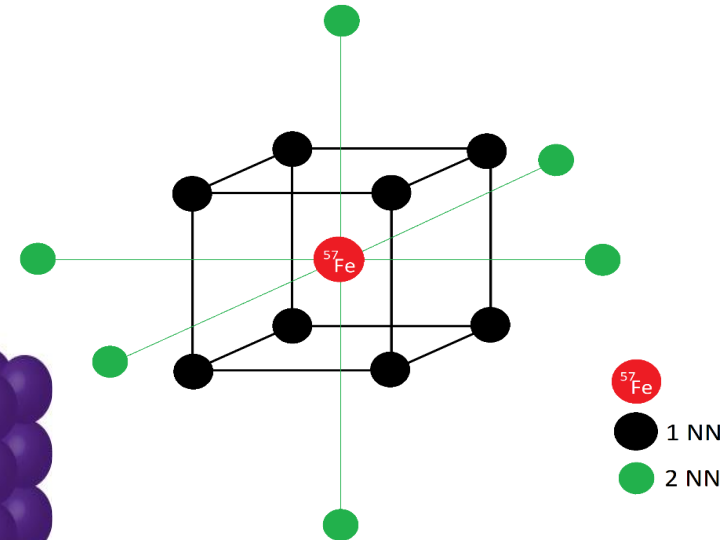
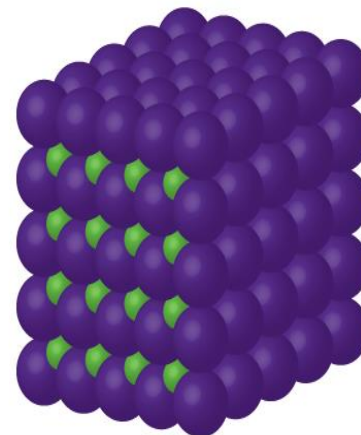
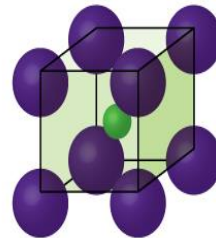
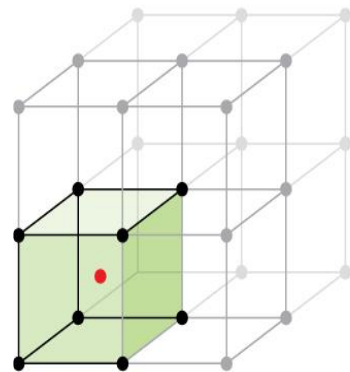
# Analýza ocelí pomocou MS - Binomické rozdelenie pre MEA ocele (T91)



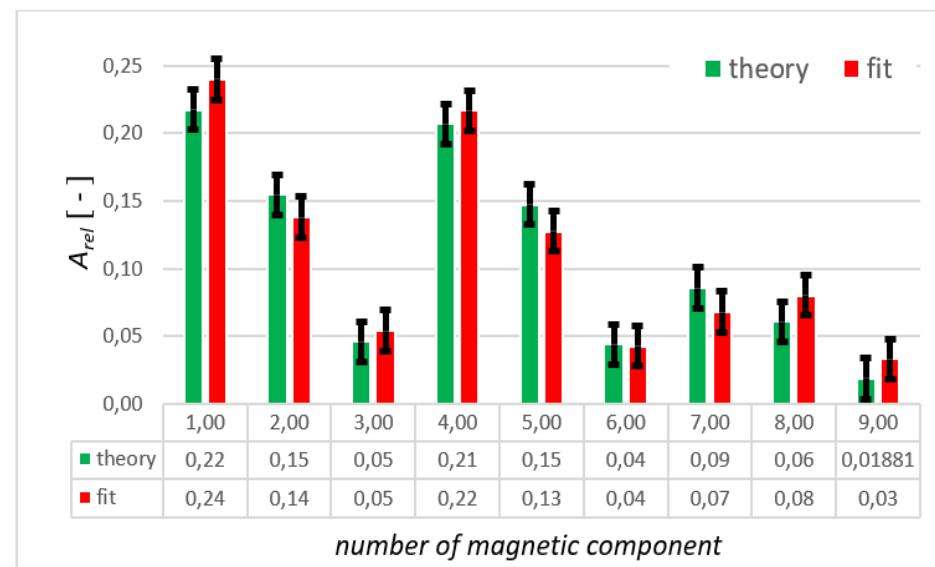
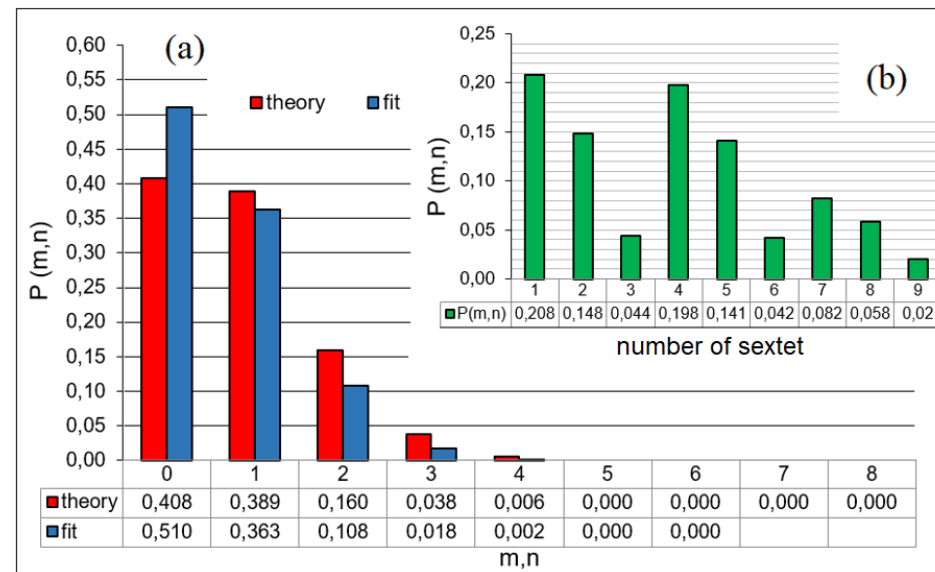
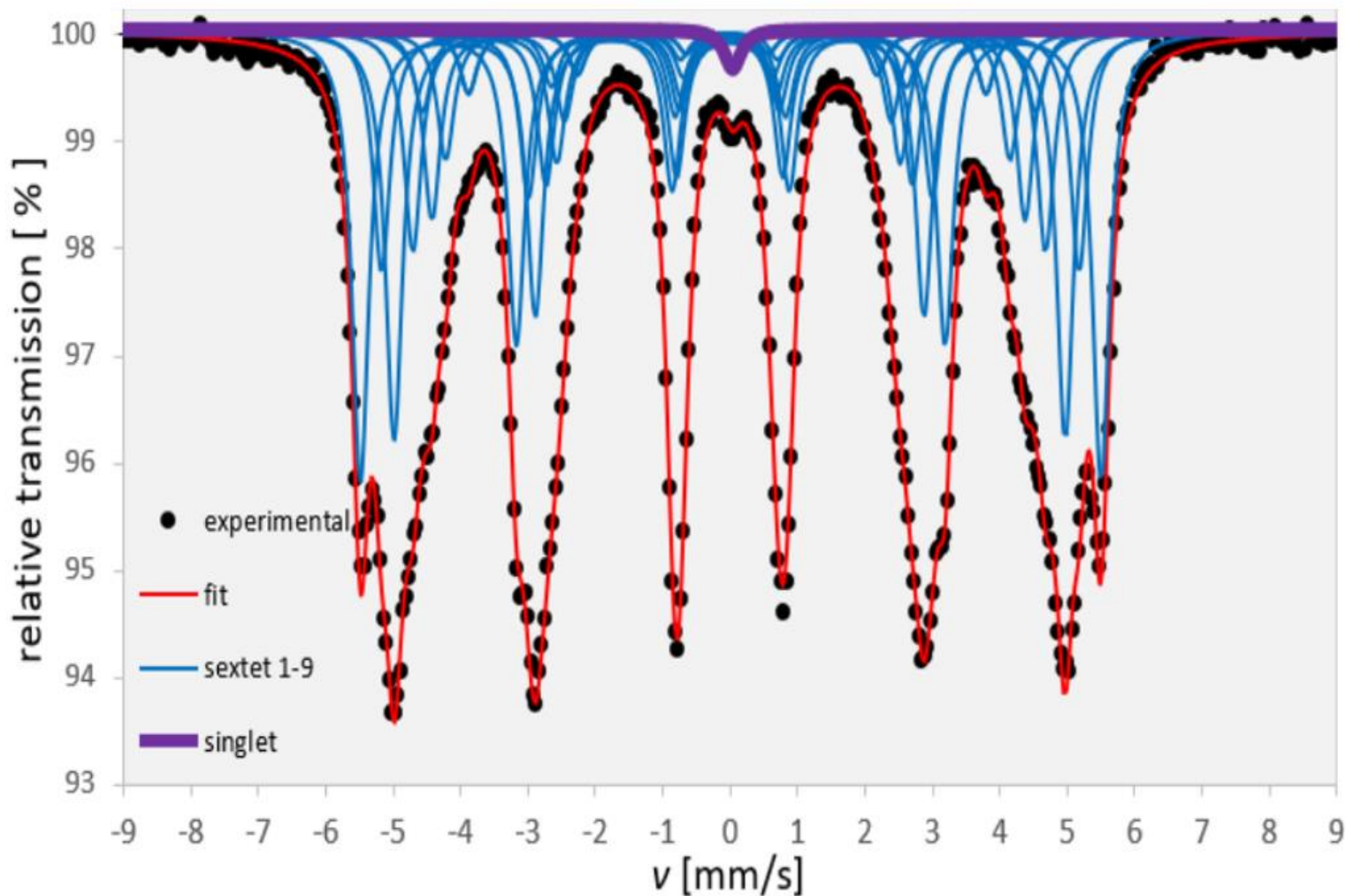
$$P(m, n) = c_1 c_2 x^{(m+n)} (1-x)^{(Z_1+Z_2-(m+n))}$$

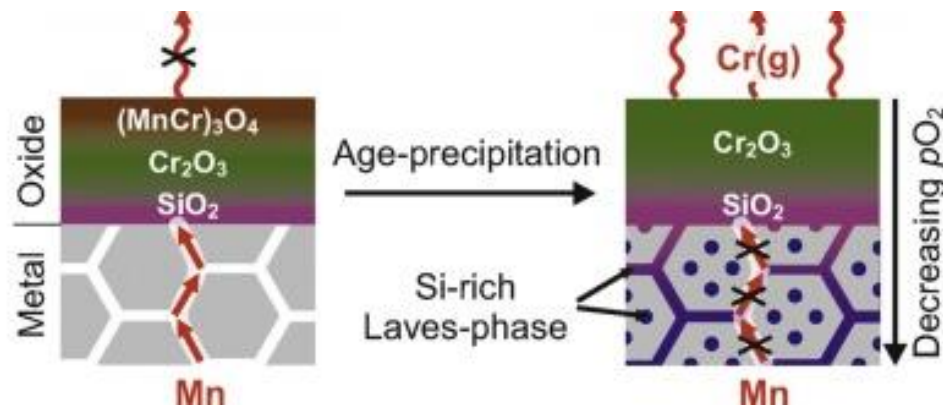
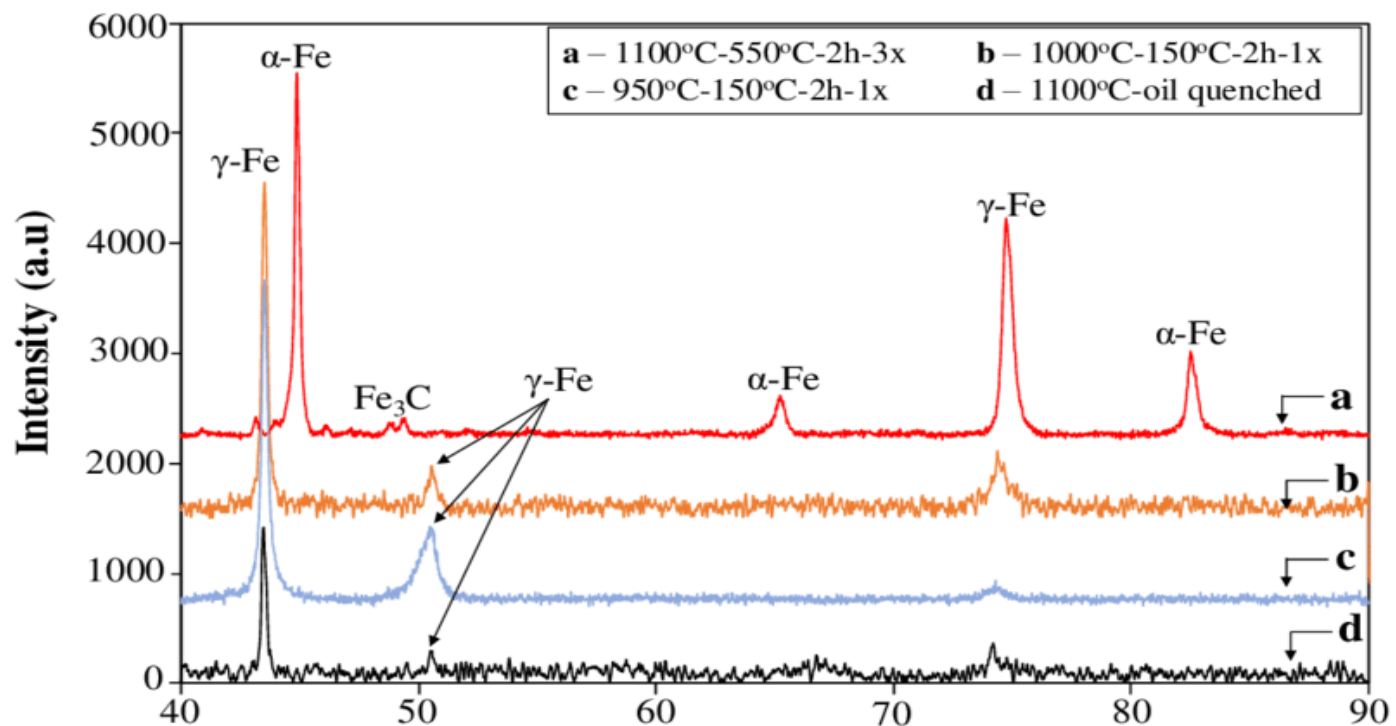
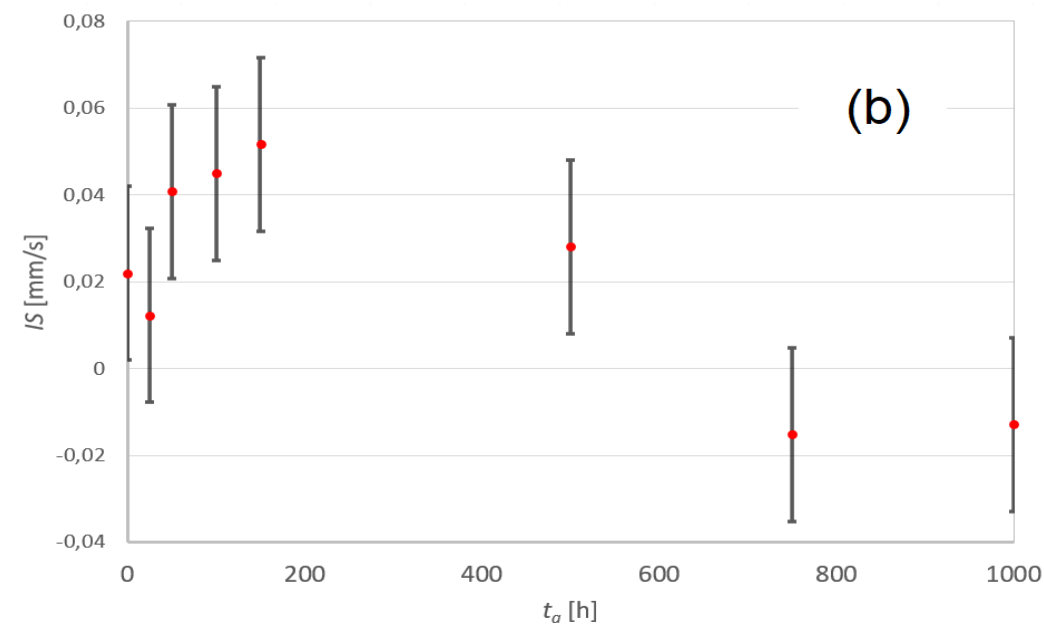
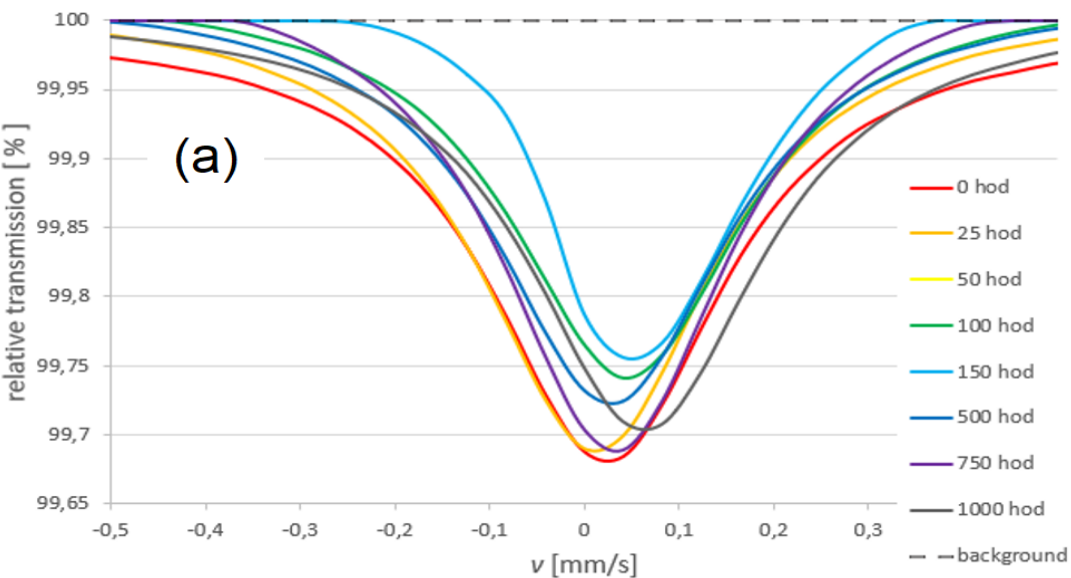
$$\langle IS \rangle = \sum_{m,n} [P(m, n) IS(m, n)]$$

$$\langle B \rangle = \sum_{m,n} [P(m, n) B(m, n)]$$

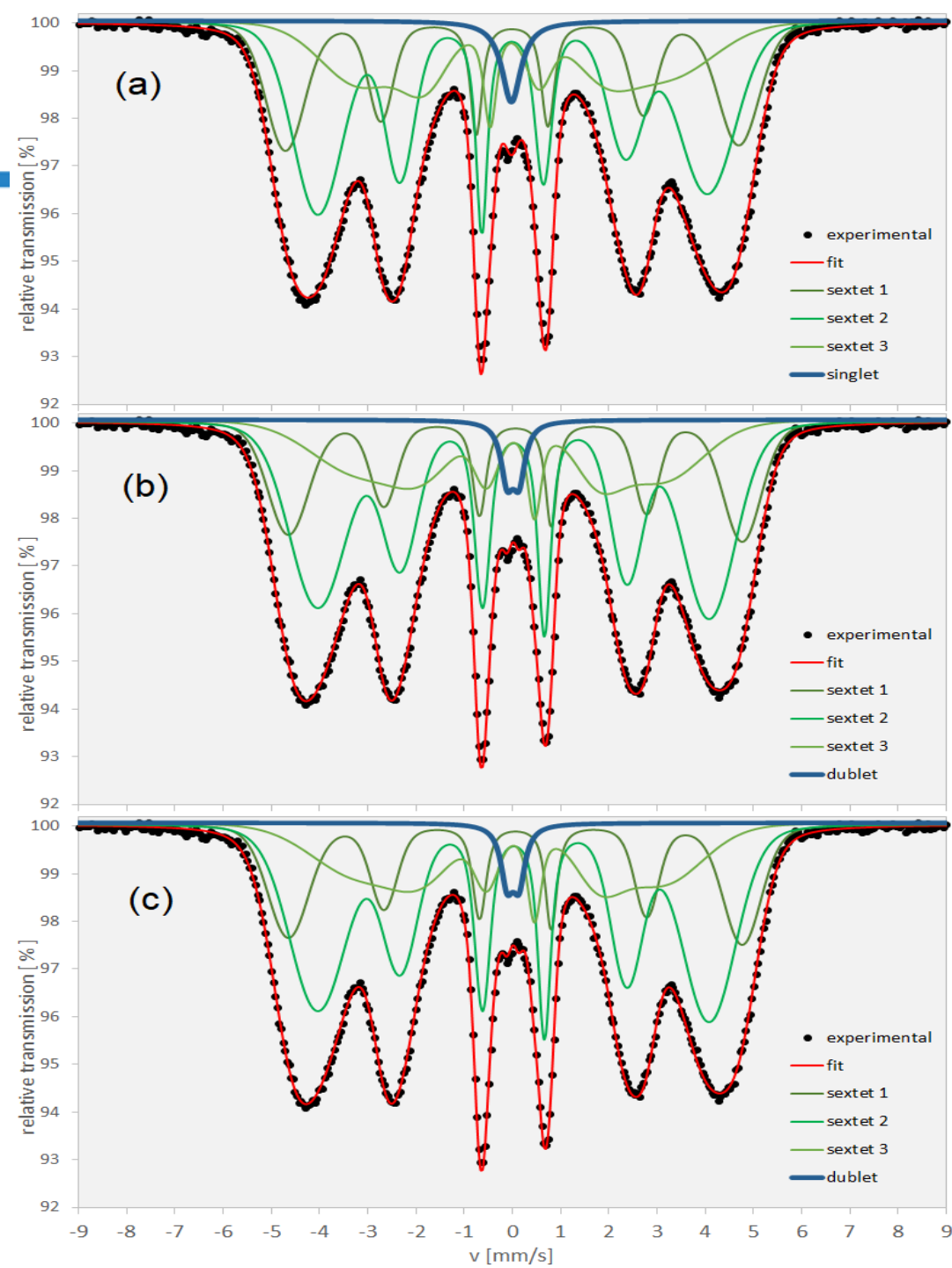
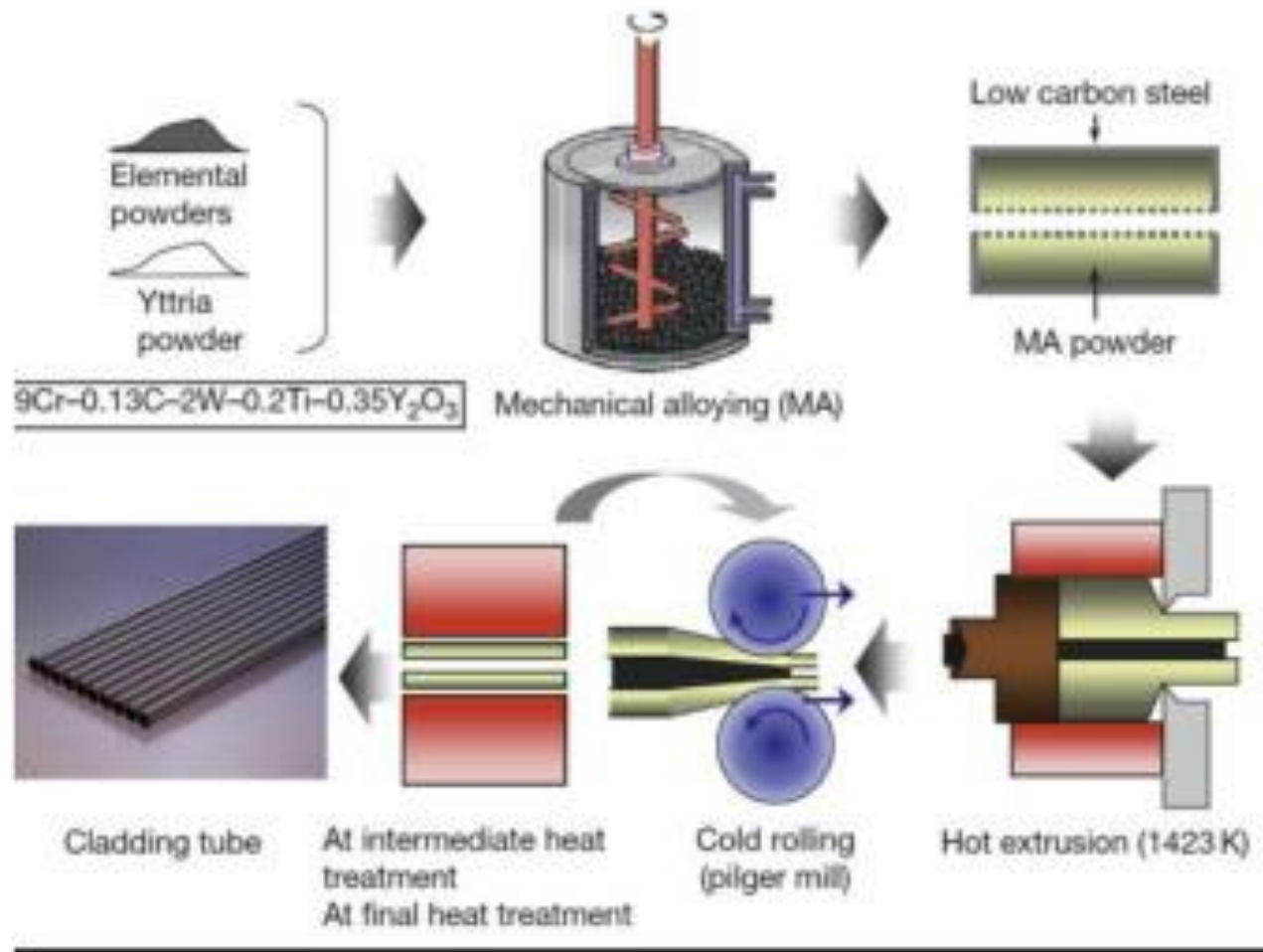


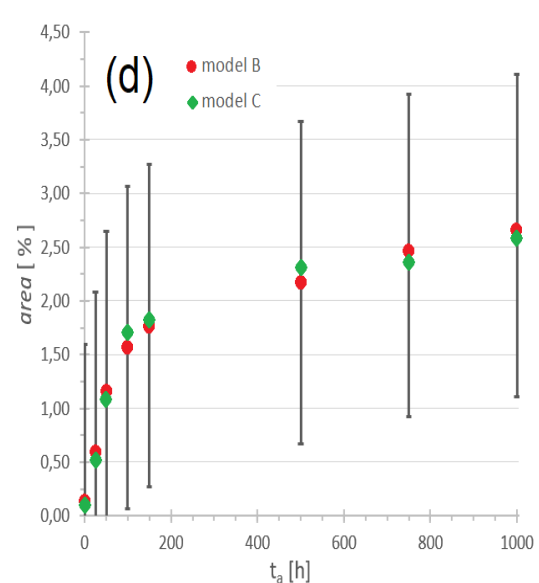
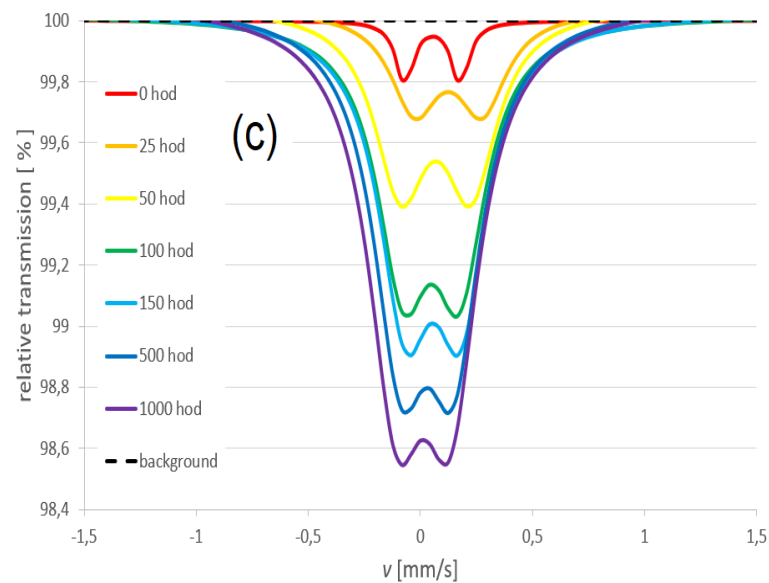
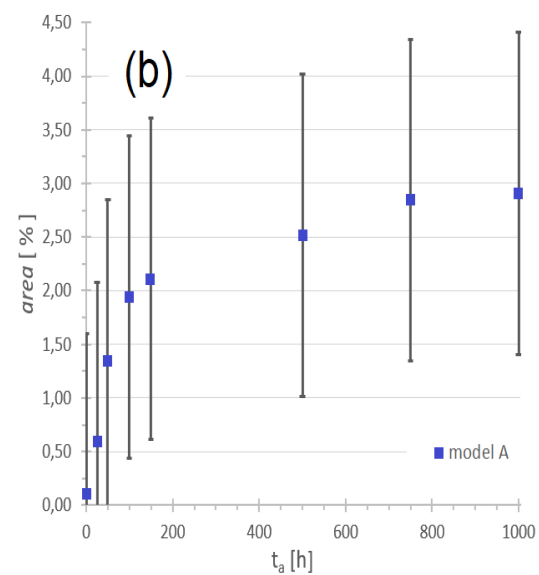
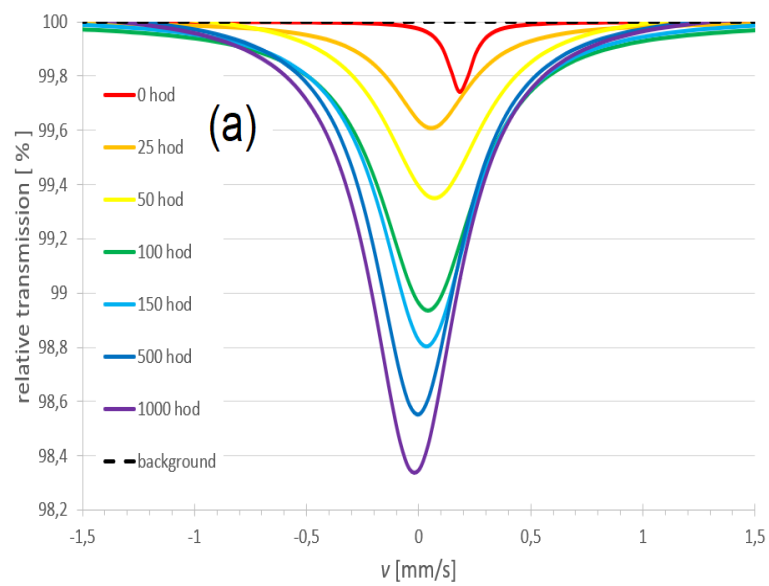
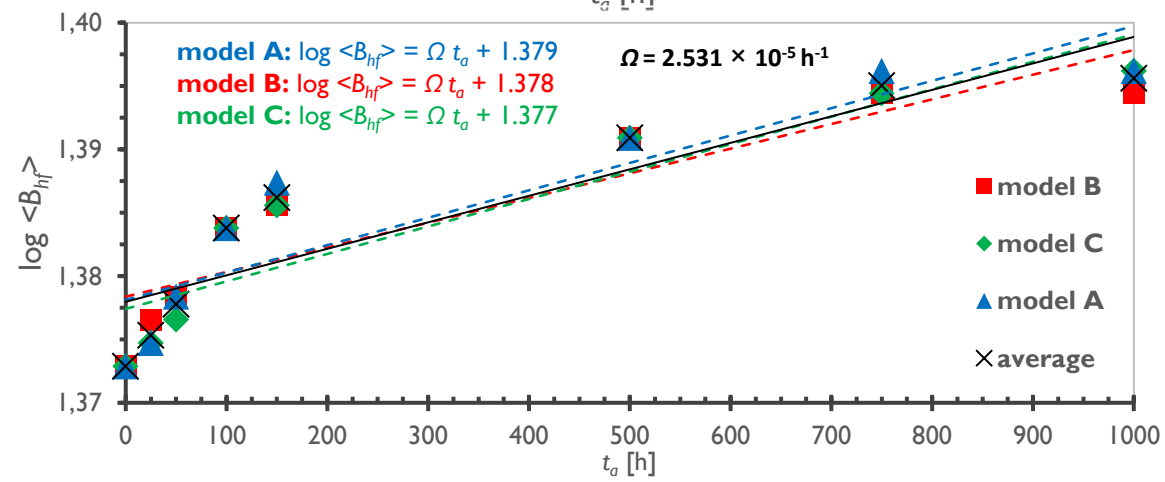
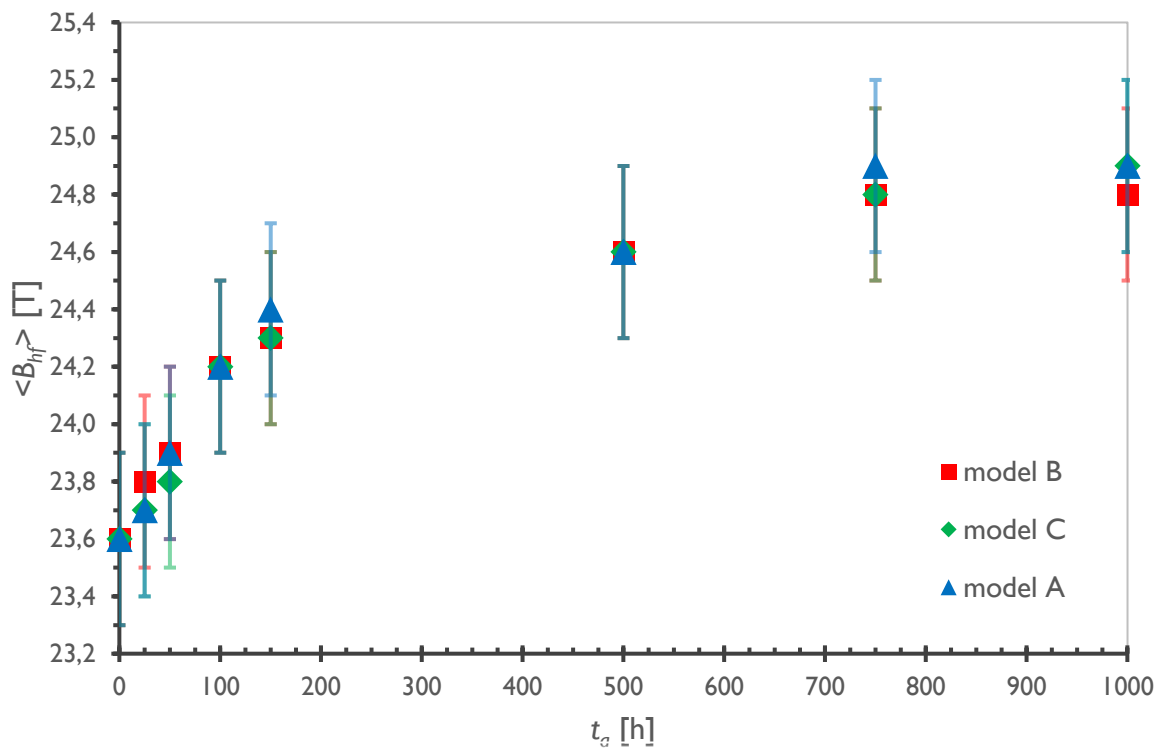
# RAFM T91 ocel'



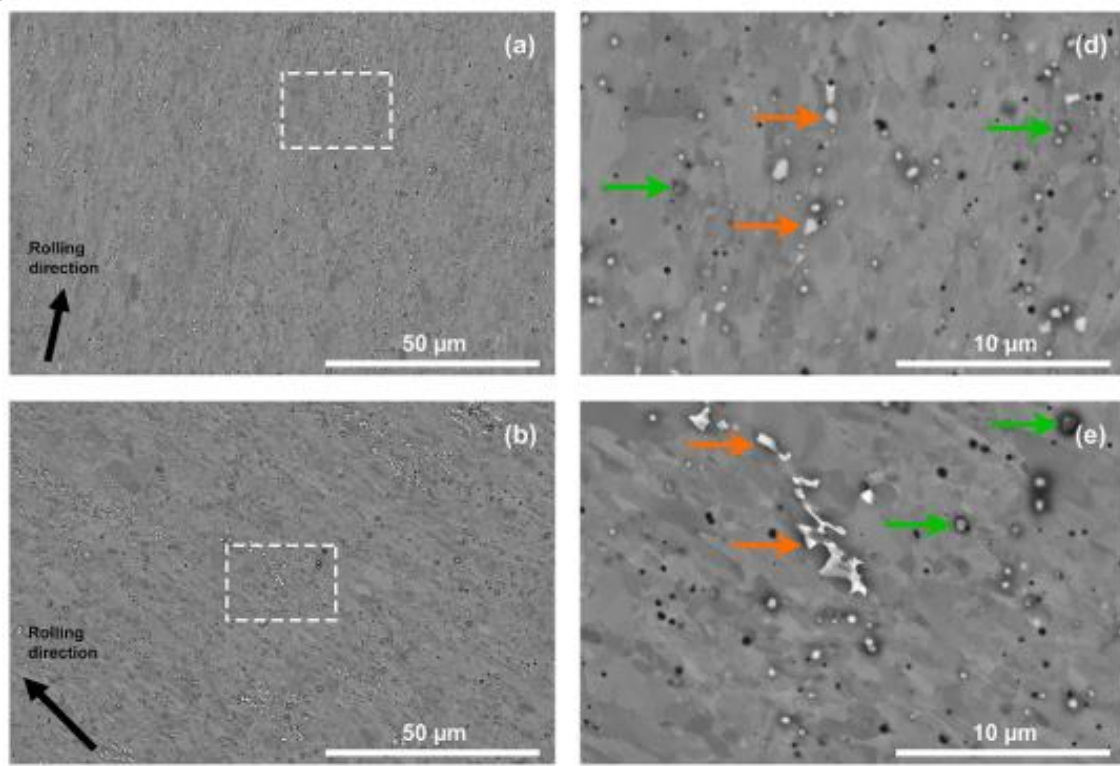
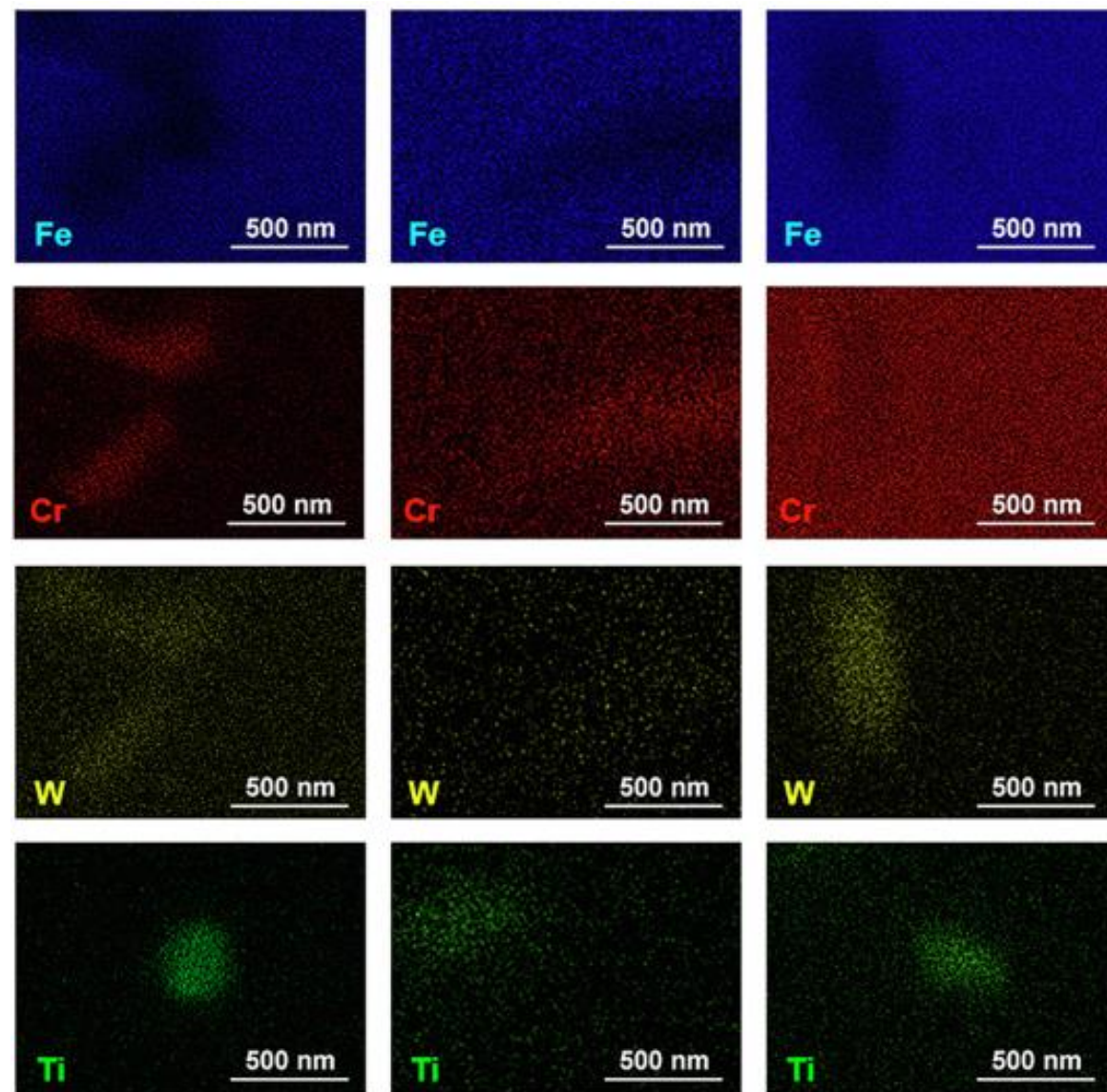
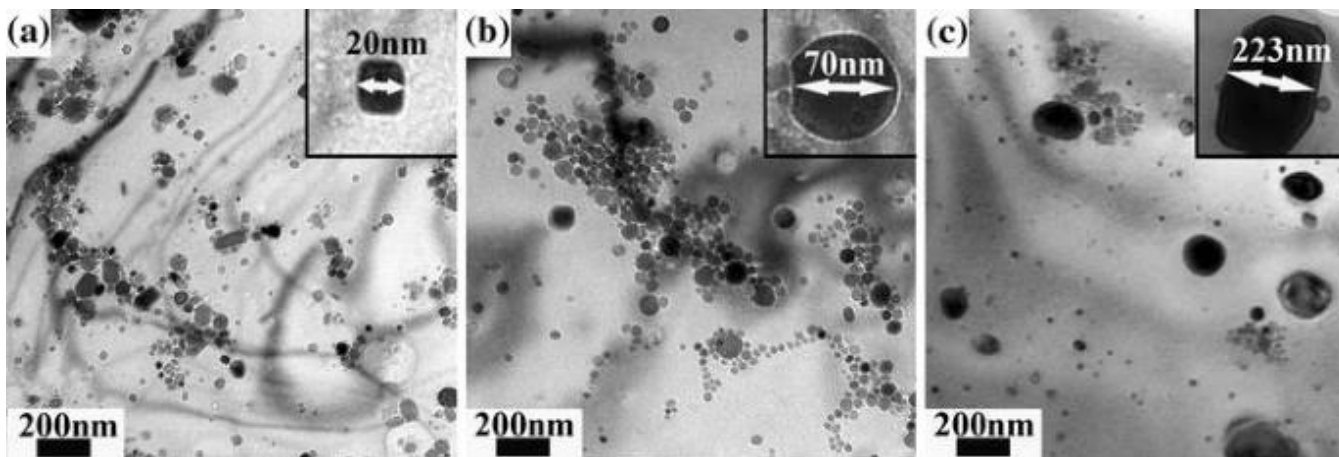


# ODS PM2000 ocel'

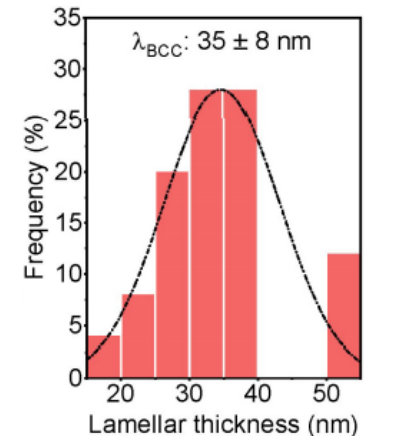
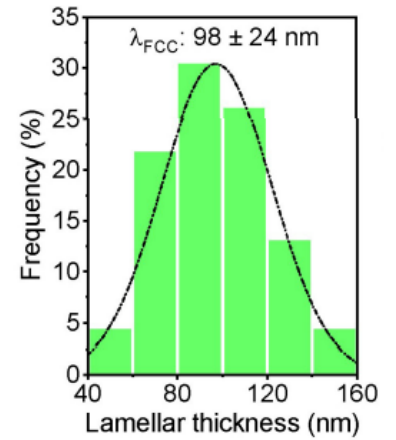
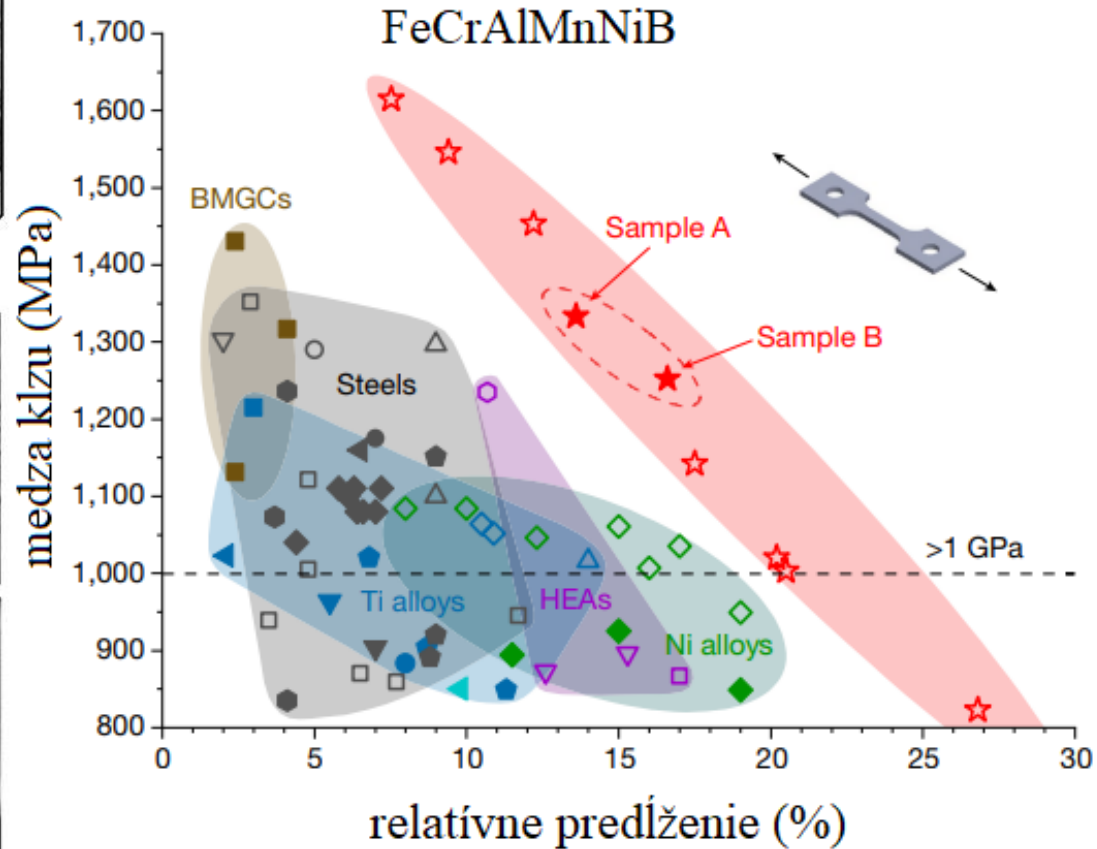
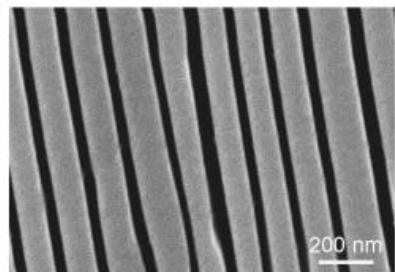
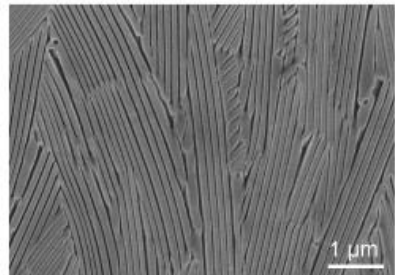
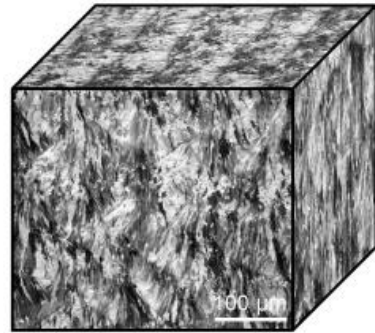
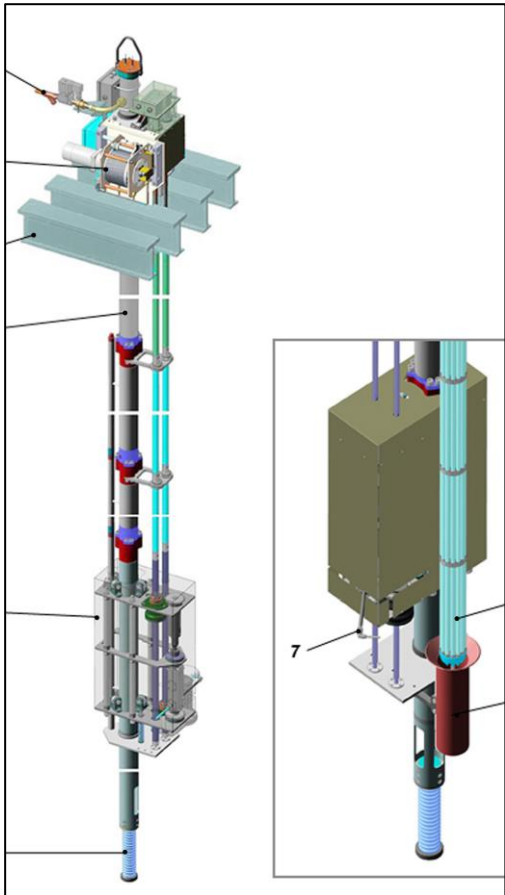






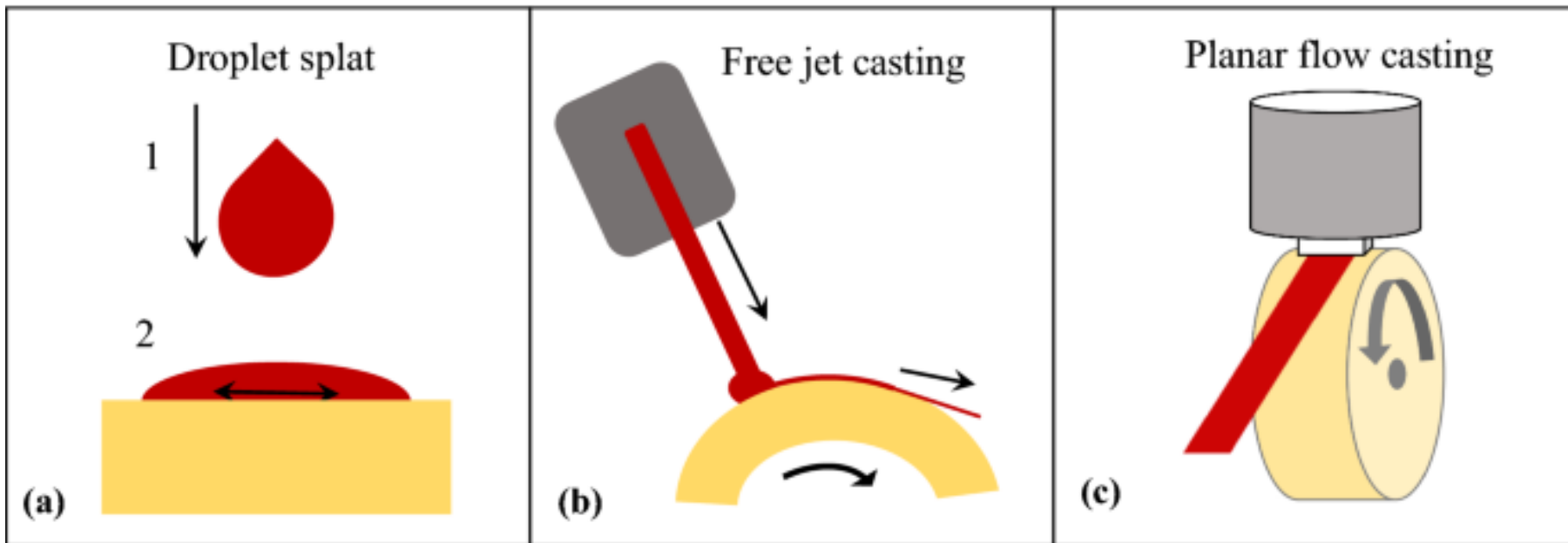


# HEA ocele pre špeciálne aplikácie v JE

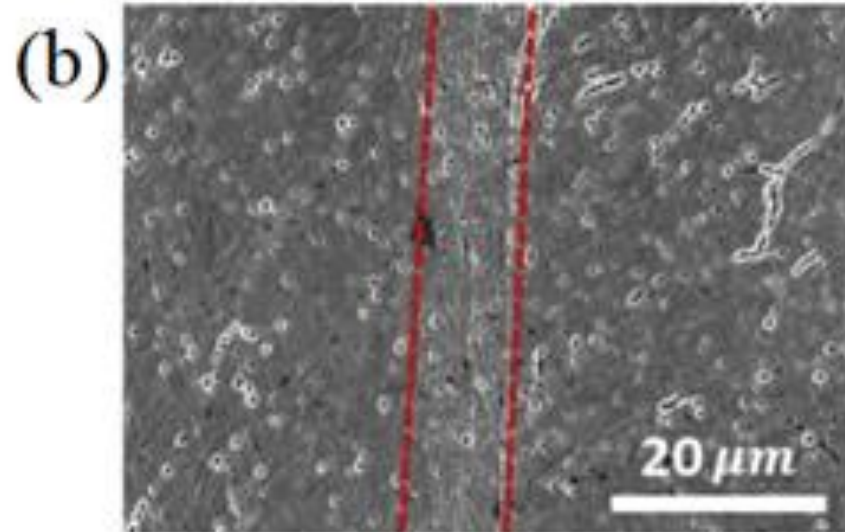
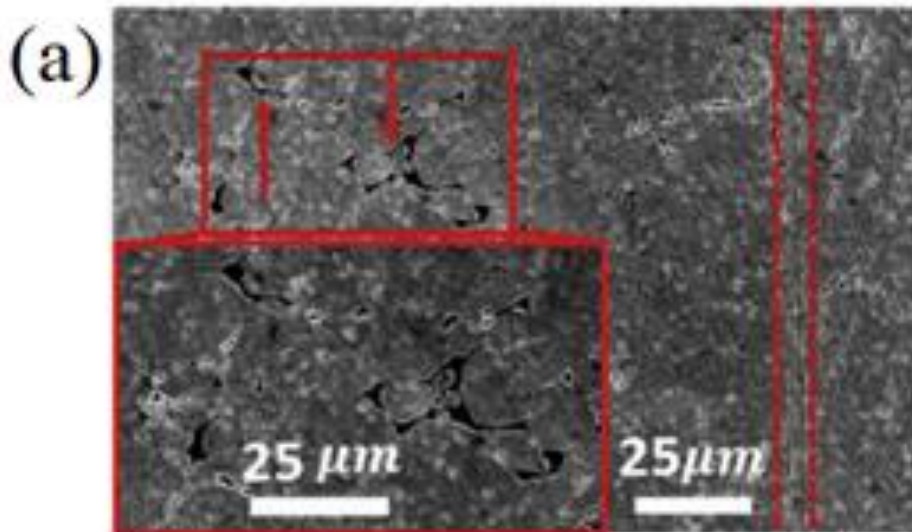
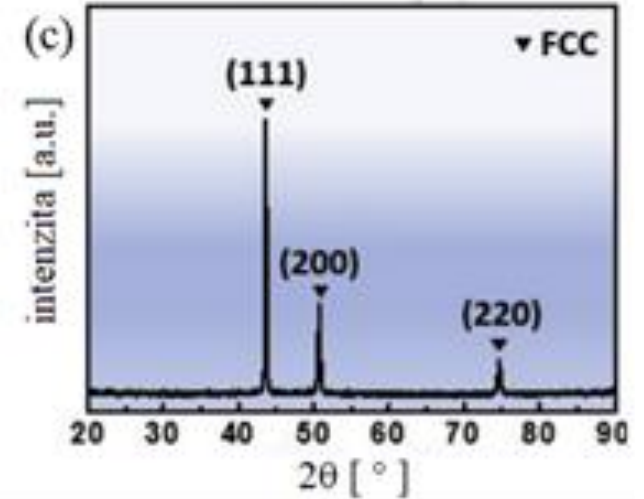
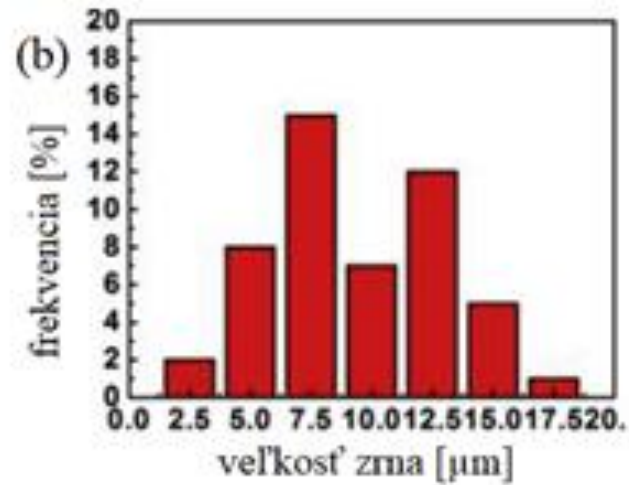
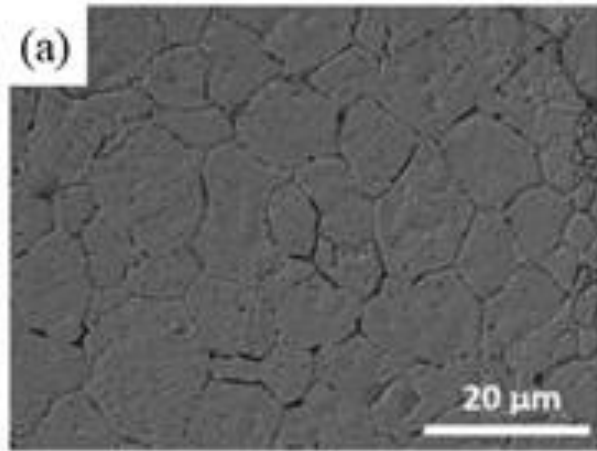


# Vzorky HEA ocele

- ribbons (rapid quenching)
- planar flow casting technique
- melt spun (1700 K)
- thickness - 20  $\mu\text{m}$



# Mechanické vlastnosti HEA zliatiny (FeCrAlNiMnB)



## Perturbačný model pre bórovú HEA oceľ (pre HRK kazety)

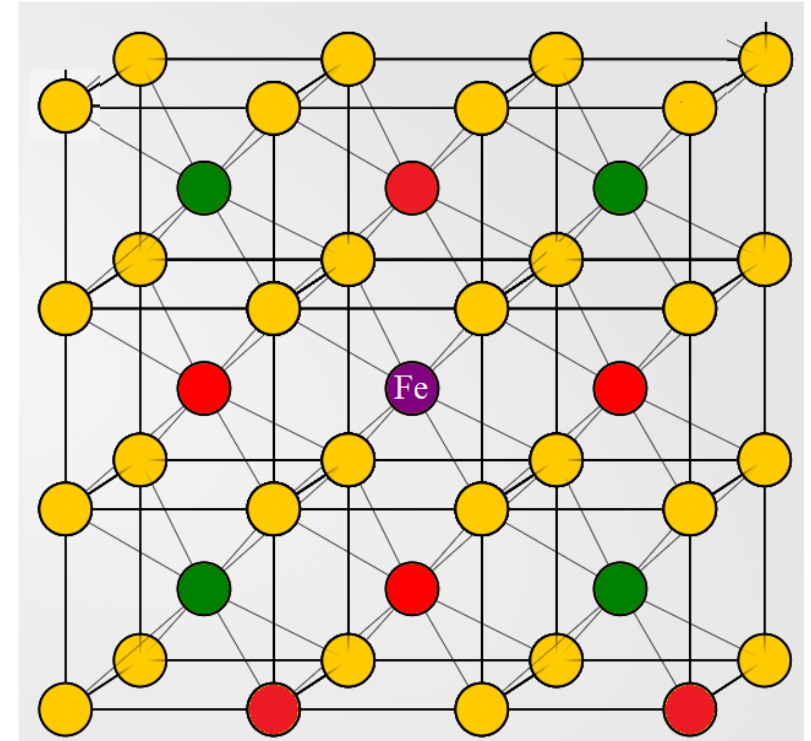
(vzorka FeCrNiMnAlB)

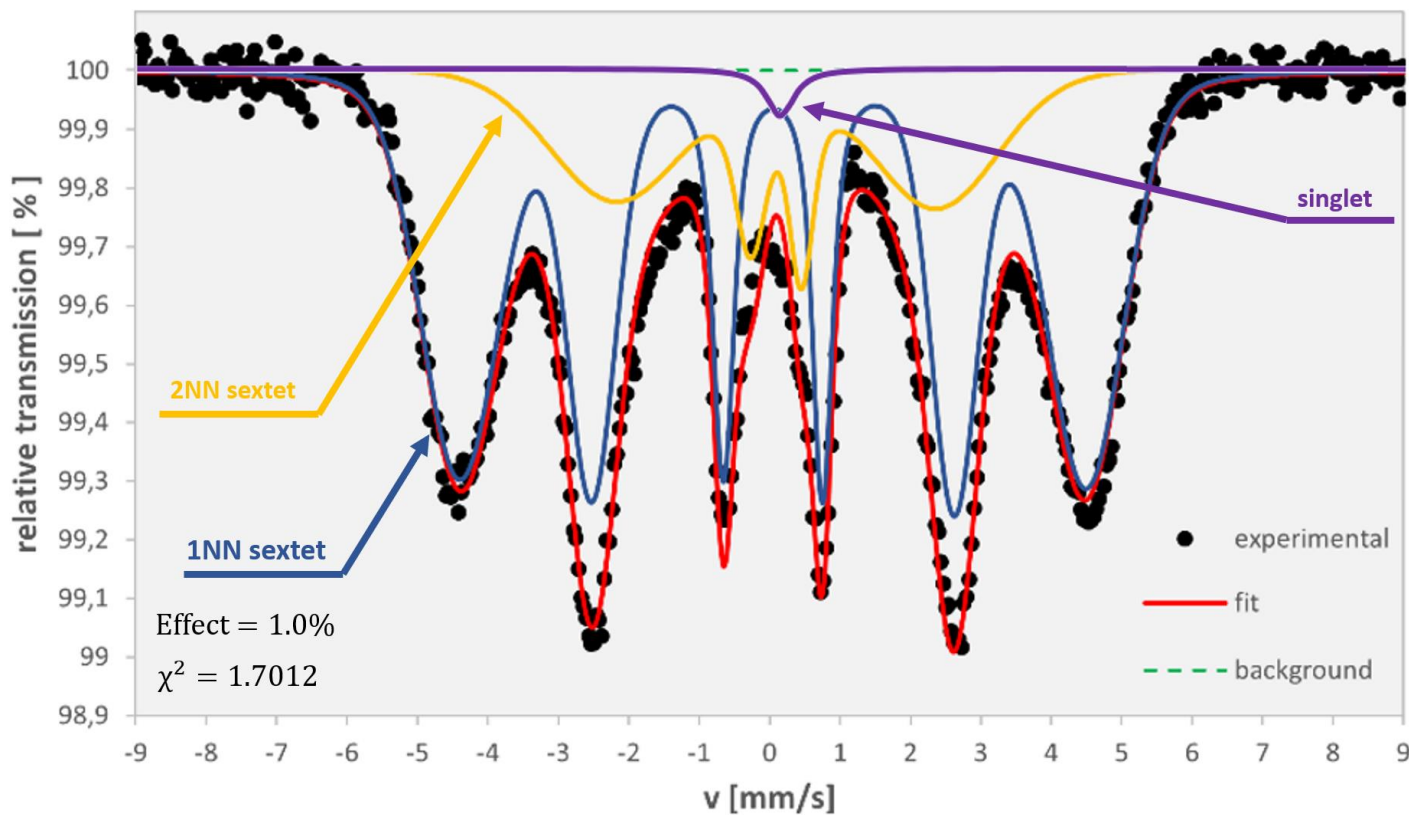
$$B = B_0 + \langle \Delta B \rangle$$

$$B = B_0 + [m\Delta B_1^x + n\Delta B_2^x + \gamma x]$$

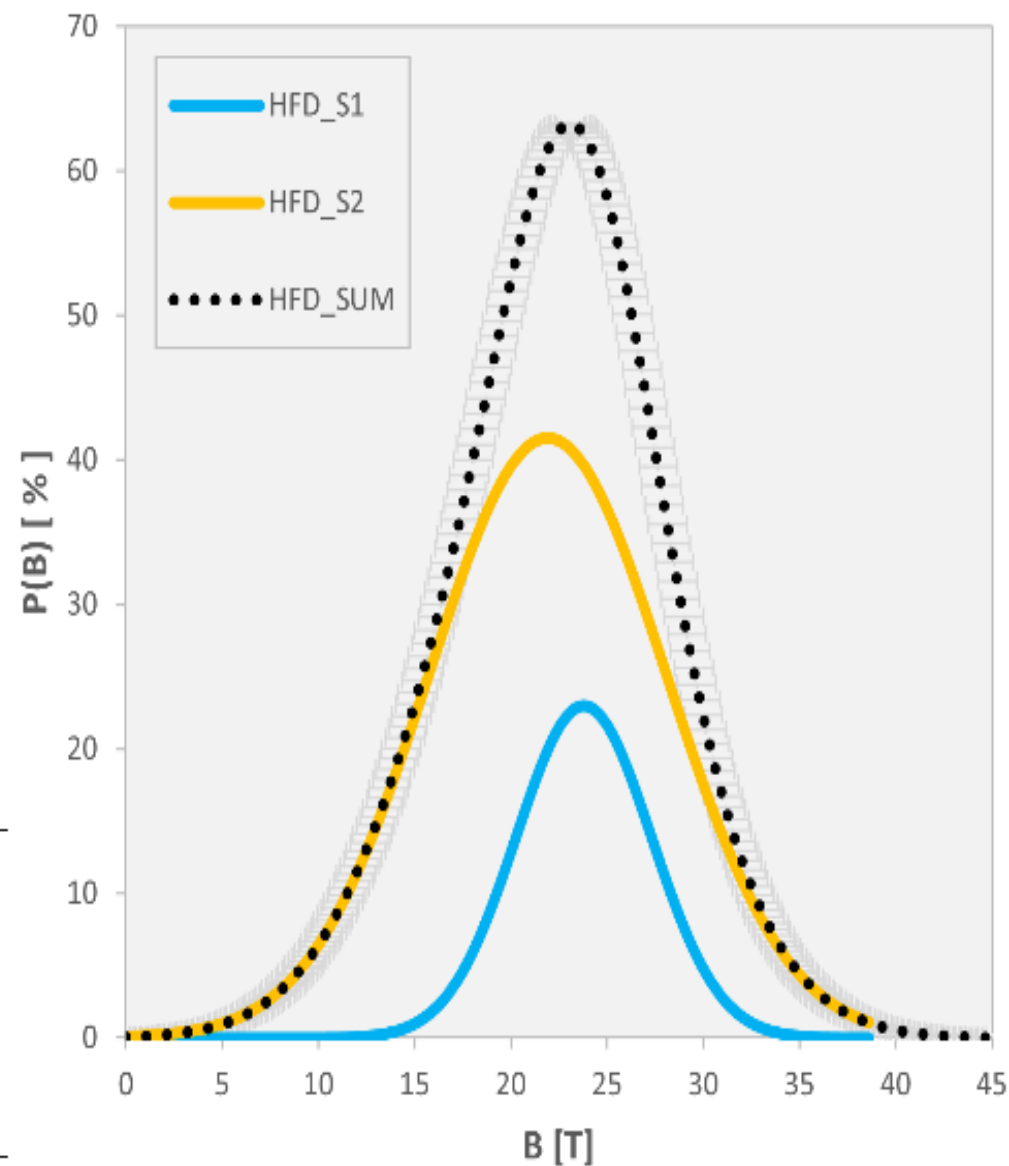
$$\langle \Delta B \rangle = \sum_x c_x (m\Delta B_1^x + n\Delta B_2^x)$$

$$\langle B \rangle = \prod_{\mu=1}^M \sum_{\substack{m=1 \\ n=1}}^{\substack{Z_1 \\ Z_2}} P(m, n) B_{m,n} = B_0 + \langle \Delta B_{Fe} \rangle + \langle \Delta B_{Al} \rangle + \langle \Delta B_{Co} \rangle + \langle \Delta B_{Ni} \rangle + \langle \Delta B_{Mn} \rangle$$





component	$A_{rel}$ [%]	$IS$ [mm/s]	$B_{hf}$ [T]
1NN sextet	72.9	0.047	26,1
2NN sextet	24.6	0.055	17,9
singlet	2.5	0.012	-



# Ďakujem za pozornosť

[david.kosovsky@stuba.sk](mailto:david.kosovsky@stuba.sk)

This research was supported by the Scientific Grant Agency of the Ministry of Education, Science, Research and Sport of the Slovak Republic [grant number VEGA 1/0130/20] and by the European Regional Development Fund-Project "Centre for Advanced Applied Sciences" [grant number CZ.02.1.01/0.0/0.0/16\_019/0000778]. This research was supported thanks to the generous support under the Operational Program Integrated Infrastructure for the project: "Research of physical, technical and material aspects of high-temperature reactors with the potential of hydrogen production", Project no. 313011BUH7, co-financed by the European Regional Development Fund."